

Инвариант Хопфа

$$D = 3, M = M_0 \vec{n}, \vec{n} = (\sin \theta \cos \Phi, \sin \theta \sin \Phi, \cos \theta)$$

$$n \rightarrow n_0 = (0, 0, 1) (|r| \rightarrow \infty),$$

$$R^3 \cup \{\infty\} = S^3 \Rightarrow S^2$$



Хейнц Хопф

1894 - 1971



- Все непрерывные отображения разбиваются на классы гомотопных отображений, которые классифицируются целым числом-инвариантом Хопфа. Два отображения гомотопны

$$n_1(r) \equiv n_2(r) \Rightarrow n(r, t) \approx$$

$$n(r, 0) = n_1(r), n(r, 1) = n_2(r)$$

$$S^3 \Leftrightarrow R^3$$

$$S^3 : x_1^2 + x_2^2 + x_3^2 + x_4^2 = 1$$

$$R^3 = \{y_1, y_2, y_3\} \quad y_i = \frac{x_i}{x_4 + 1},$$

$$x_i = \frac{4y_i}{a+4}, \quad x_4 = \frac{4-a}{a+4}, \quad a = y_i^2.$$

Пример отображения Хопфа

$$z_1 = x_1 + i x_2, z_2 = x_3 + i x_4,$$

$$z_1 z_1^* + z_2 z_2^* = 1,$$

$$u + i v = \operatorname{tg} \frac{\theta}{2} e^{i\Phi} = \frac{z_1}{z_2}$$

$$S^3 \Leftarrow SU(2)$$

$$G(x, y, z) = \begin{pmatrix} \cos \frac{\theta}{2} e^{\frac{i(\alpha+\gamma)}{2}} & i \sin \frac{\theta}{2} e^{\frac{i(-\alpha+\gamma)}{2}} \\ i \sin \frac{\theta}{2} e^{\frac{i(-\alpha+\gamma)}{2}} & \cos \frac{\theta}{2} e^{\frac{-i(\alpha+\gamma)}{2}} \end{pmatrix}$$

$$z_1 = \cos \frac{\theta}{2} e^{\frac{i(\alpha+\gamma)}{2}}, z_2 = i \sin \frac{\theta}{2} e^{\frac{i(-\alpha+\gamma)}{2}}$$

$$\left(r - \frac{2}{\sin \frac{\theta}{2}}\right)^2 + z^2 = \frac{4}{\operatorname{tg}^2 \frac{\theta}{2}}$$

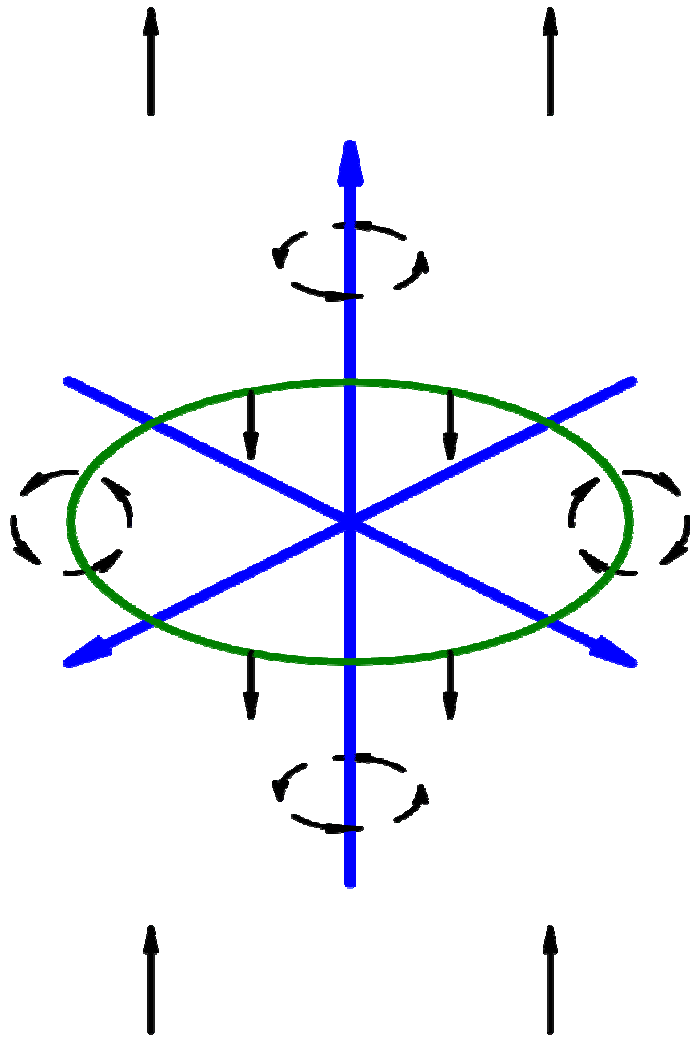
$$\Phi = \alpha = \varphi + \operatorname{Arc} \tan \left[\frac{-4 + r^2 + z^2}{4z} \right]$$

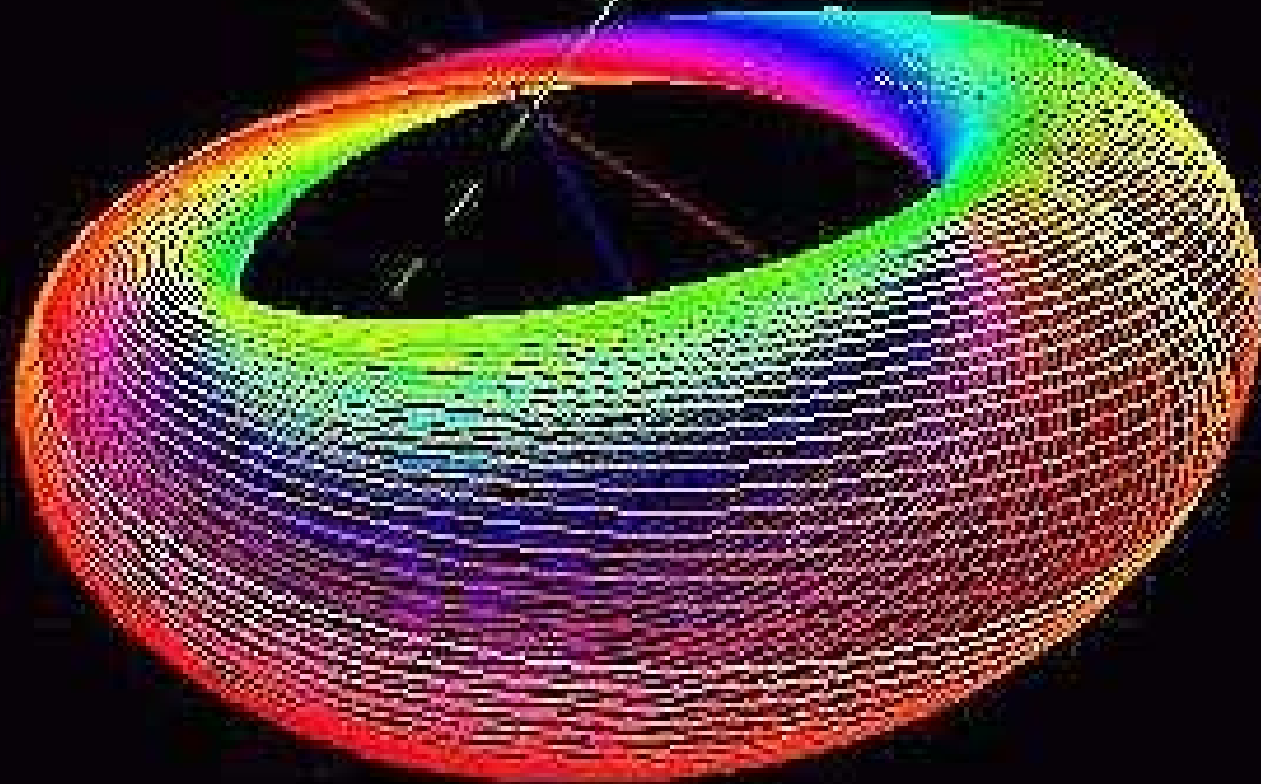
Расслоение пространства (нет зависимости от третьей переменной)

Вихрь

r

$$\theta \rightarrow 0 \ (r, z \rightarrow \infty), \theta \rightarrow \pi \ (r \rightarrow 2, z \rightarrow 0)$$





Формула Уайхеда

$$\Omega(x, y, z) = \sin \theta d\theta \wedge d\Phi =$$

$$\sin \theta \left(\frac{\partial \theta}{\partial x_i} \frac{\partial \Phi}{\partial x_j} - \frac{\partial \theta}{\partial x_j} \frac{\partial \Phi}{\partial x_i} \right) dx_i \wedge dx_j,$$

$$F_i = 2\varepsilon_{ijk} \sin \theta \frac{\partial \theta}{\partial x_j} \frac{\partial \Phi}{\partial x_k} = -2\varepsilon_{ijk} \frac{\partial n}{\partial x_j} \frac{\partial \Phi}{\partial x_k} =$$

$$2\varepsilon_{ijk} \vec{n} \cdot (\vec{n}_{,j} \times \vec{n}_{,k})$$

$$\operatorname{div} \vec{F} = 0, \quad \vec{F} = \operatorname{rot} \vec{A}$$

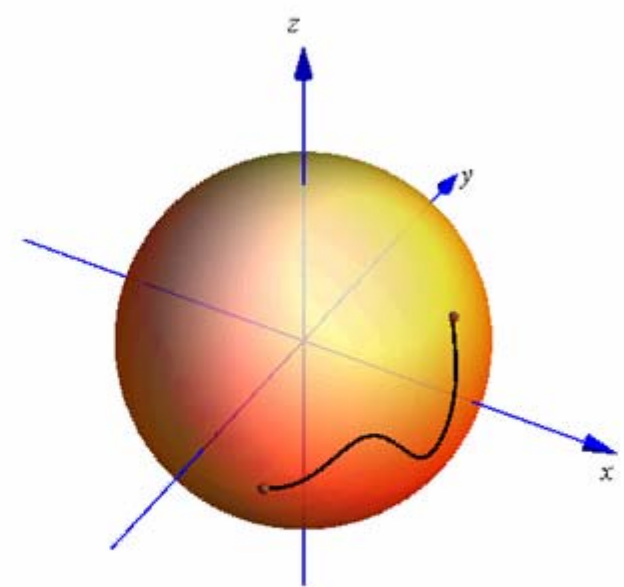
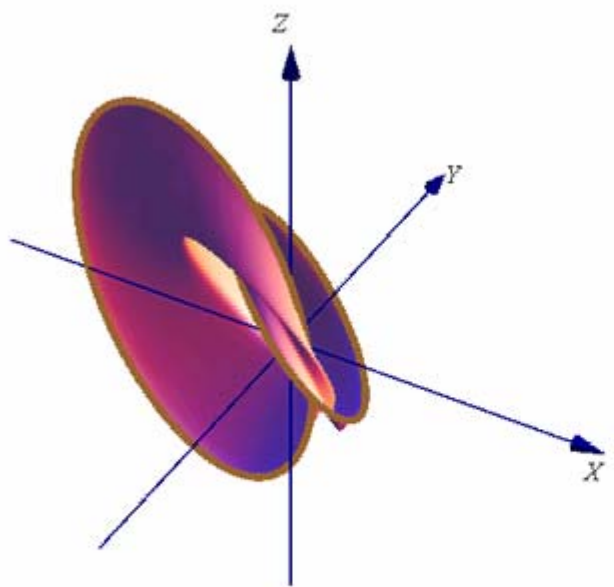
$$\theta(x, y, z) = C_1, \quad \Phi(x, y, z) = C_2,$$

$$x = x(z), \quad y = y(z),$$

$$\text{çàì êí óò àÿ èèí èÿ Áèäâî ô.}$$

$$\iint_{S_1} F_i dS_i = \oint_{\gamma_1} \vec{A} d\vec{l} - \oint_{\gamma_2} \vec{A} d\vec{l}$$

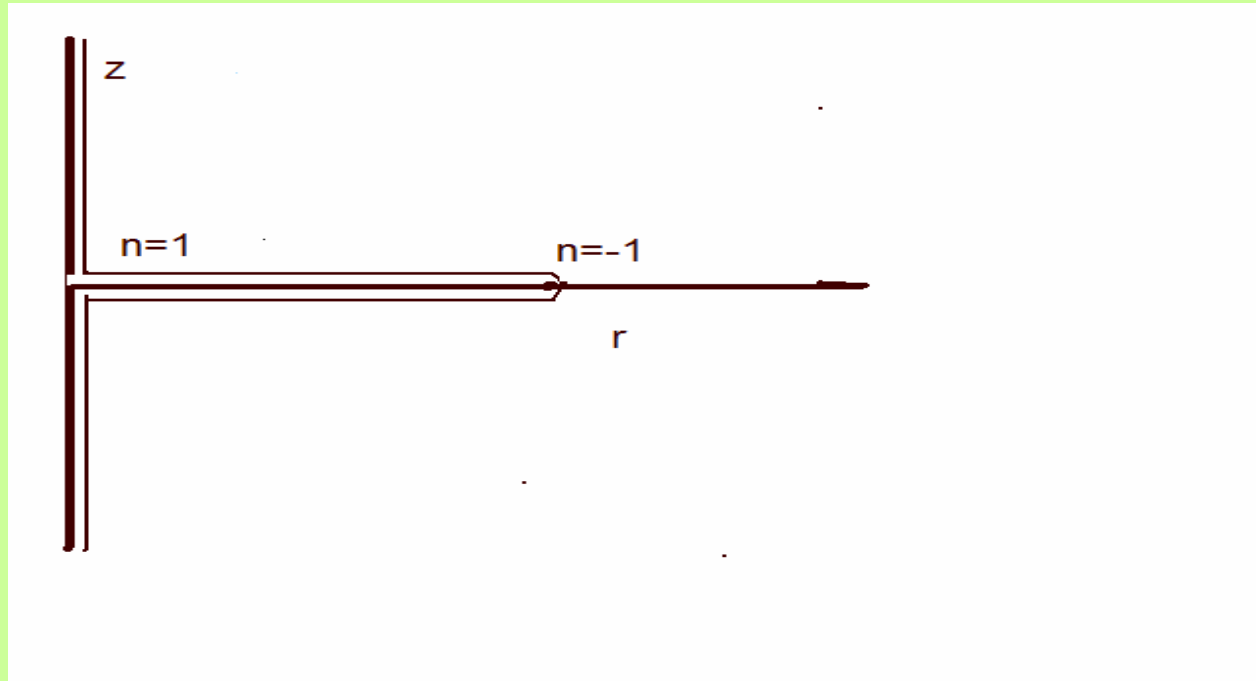
$$\oint_{\gamma} \vec{A} d\vec{l} = H,$$



$$W_+ - W_- = 2\pi T$$

$$H = -\frac{Q}{4\pi} \int_0^a dn W_+ - \frac{Q}{4\pi} \int_0^a dn W_- = -\frac{Q T}{2} (n(r=a) - n(r=0))$$

$$H = QT.$$



$$\operatorname{rot}\vec{B} = 4\pi\vec{j} \Rightarrow \oint \vec{B}d\vec{S} = 4\pi \sum_i J_i$$

*Геометрическая
интерпретация:*

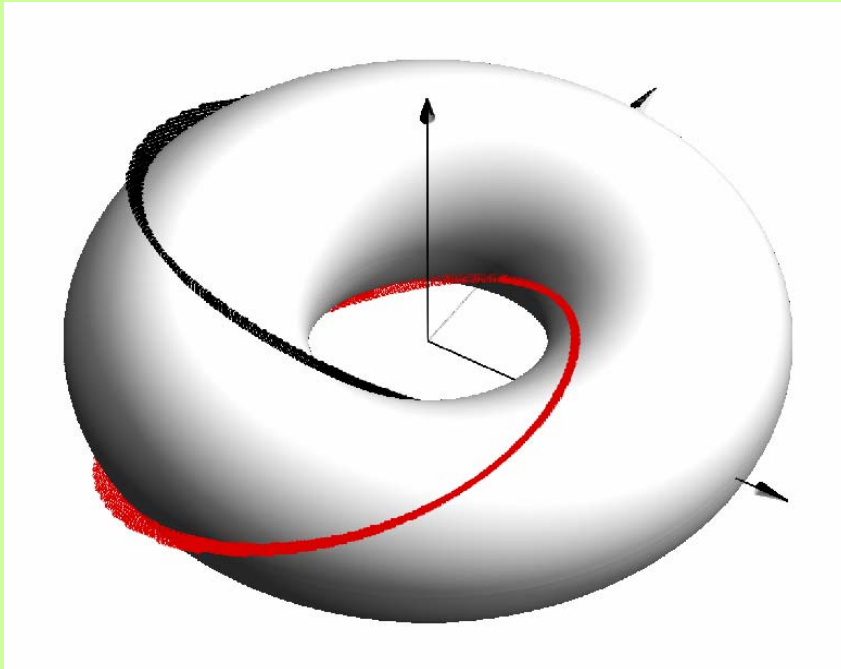
Н-число зацеплений любых двух кривых, которые являются прообразами любых двух точек на сфере.

Инвариант Хопфа

В каждой точке трехмерного пространства определен вектор намагниченности, фиксированной длины – такой вектор можно задать точкой на сфере (S^2). В бесконечности, во всех направлениях, вектор ориентирован всюду одинаково и имеет ориентацию как и в основном состоянии с глобальным минимумом энергии: $\mathbf{n}=(0,0,1)$. Это необходимое условие, иначе энергия не может быть конечной. Таким образом бесконечно удаленные точки можно считать тождественными и 3d пространство эквивалентно сфере S^3 . Значит, имеет место отображение $S^3 \rightarrow S^2$. Известно, что такому отображению отвечает целочисленный инвариант Хопфа. Целое число H равно количеству зацеплений прообразов двух разных точек, выбранных на сфере S^2 .

$$H = QT,$$

$$T = \frac{1}{4\pi} \int_{-\infty}^{\infty} \int_0^{\infty} \mathbf{n}^* \cdot \left[\frac{\partial \mathbf{n}^*}{\partial r} \times \frac{\partial \mathbf{n}^*}{\partial z} \right] dr dz.$$



Поверхность $\theta=\text{const}$ и два прообраза векторов с различными углами Φ в отображении Хопфа; $H=1$ ($Q=1$, $T=1$).

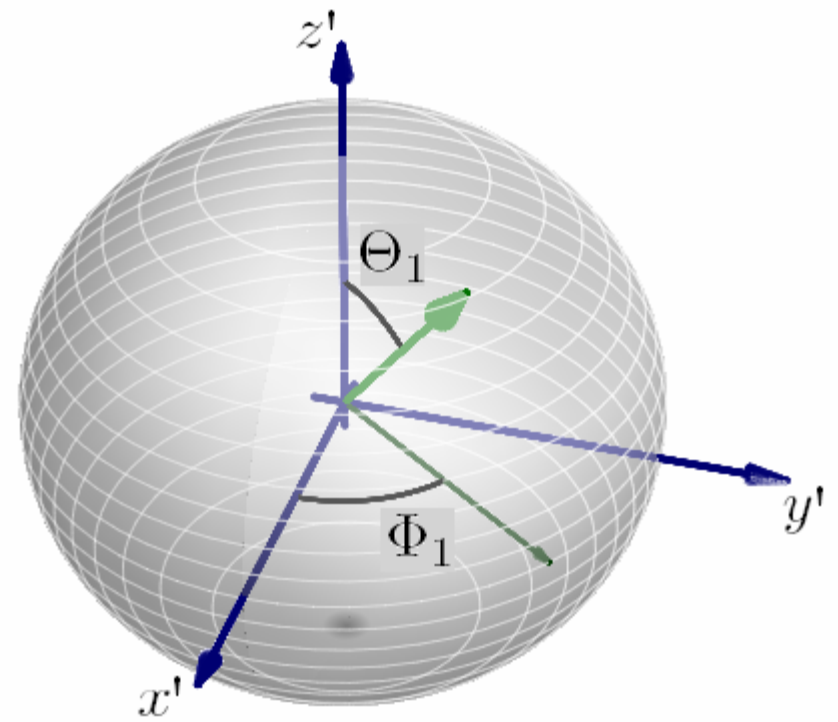
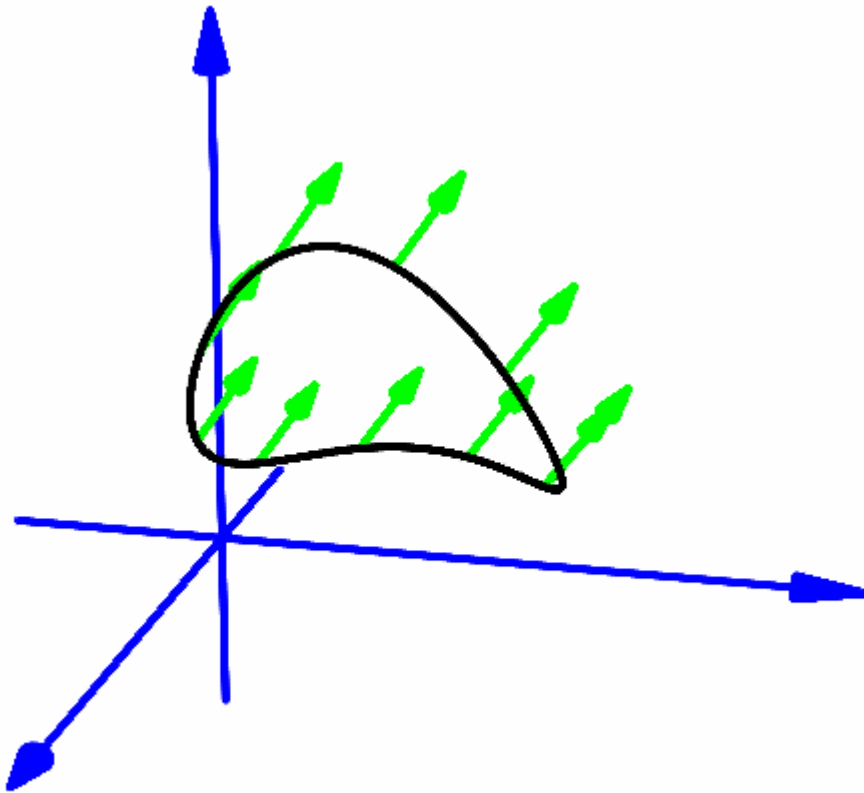
We can choose any vector value:

$$\vec{n}_1 = (\sin\Theta_1 \cos\Phi_1, \sin\Theta_1 \sin\Phi_1, \cos\Theta_1)$$

curve in \mathbf{R}^3

equal to

one point on sphere \mathbf{S}^2



We can choose any 2 vectors:

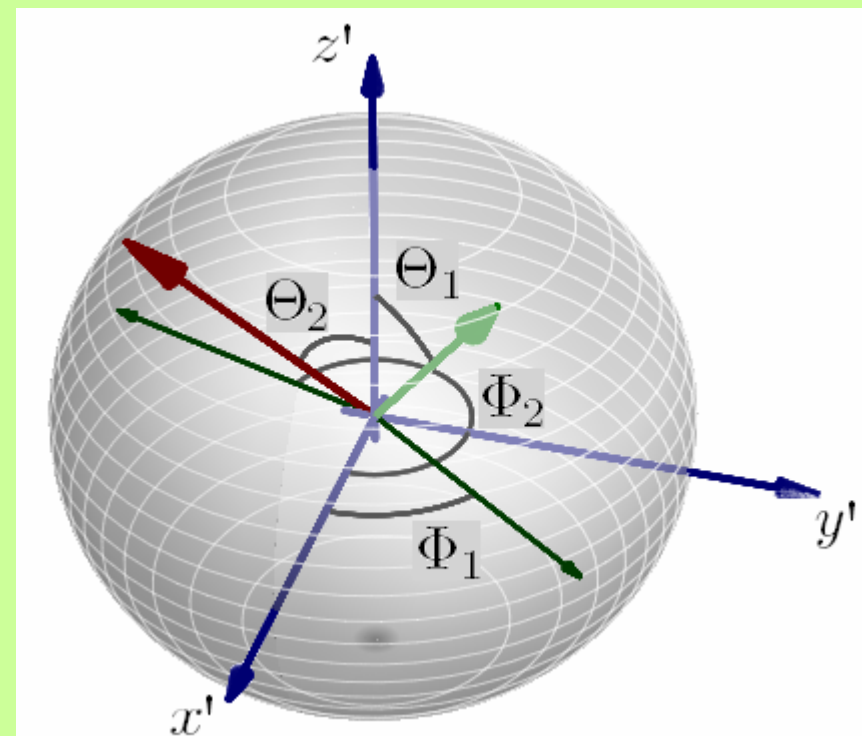
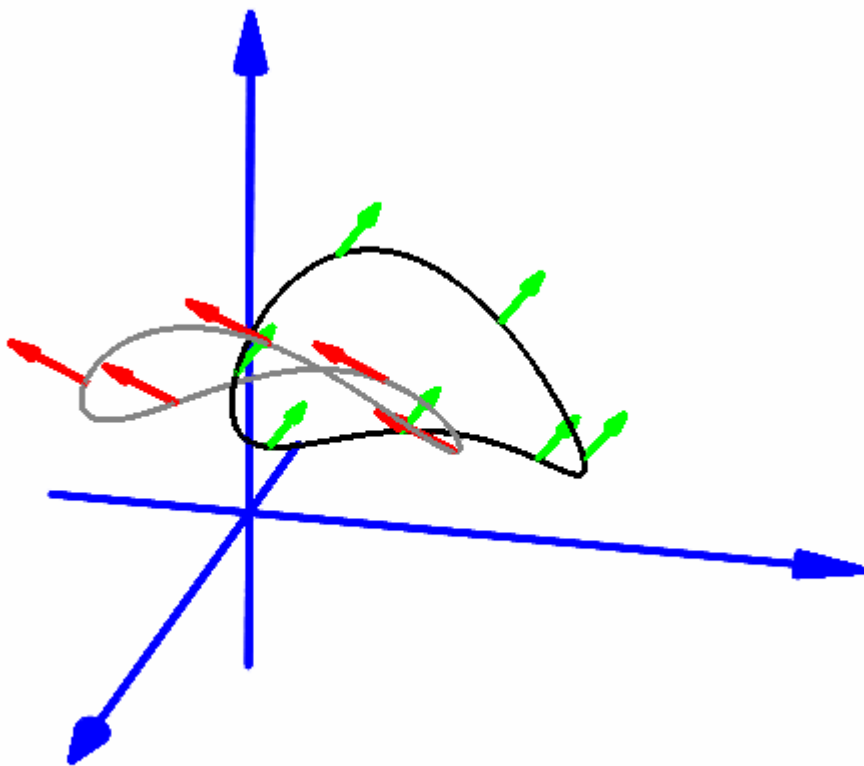
$$\vec{n}_1 = (\sin\Theta_1 \cos\Phi_1, \sin\Theta_1 \sin\Phi_1, \cos\Theta_1)$$

$$\vec{n}_2 = (\sin\Theta_2 \cos\Phi_2, \sin\Theta_2 \sin\Phi_2, \cos\Theta_2)$$

2 curves in \mathbf{R}^3

equal to

2 points on sphere \mathbf{S}^2



Let $\vec{n} \rightarrow (0, 0, 1)$ (to ground state) as $|\vec{r}| \rightarrow \infty$

Maps: $\mathbb{R}^3 \cup \{\infty\} \rightarrow \mathbb{S}^2$ are classified by a homotopy invariant:

Hopf number

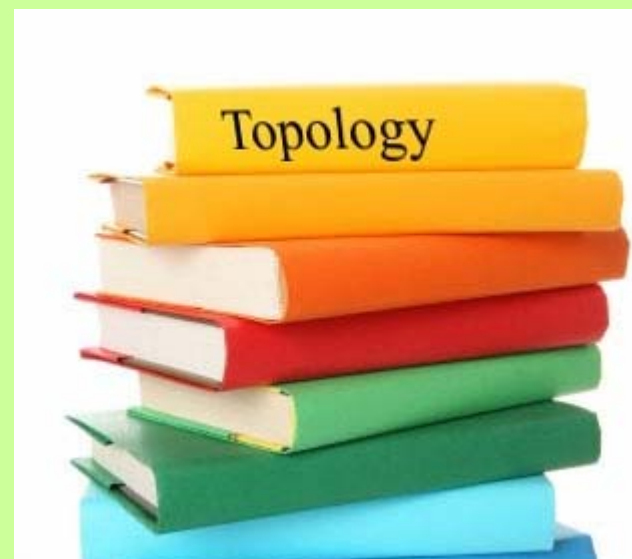
$$H = -\frac{1}{(8\pi)^2} \int \mathbf{F} \cdot \mathbf{A} d\mathbf{r}$$

where

$$F_i = \epsilon_{ijk} \mathbf{n} \cdot (\nabla_j \mathbf{n} \times \nabla_k \mathbf{n}), \quad \text{curl } \mathbf{A} = 2\mathbf{F}$$

Hopf number takes
only integer values:

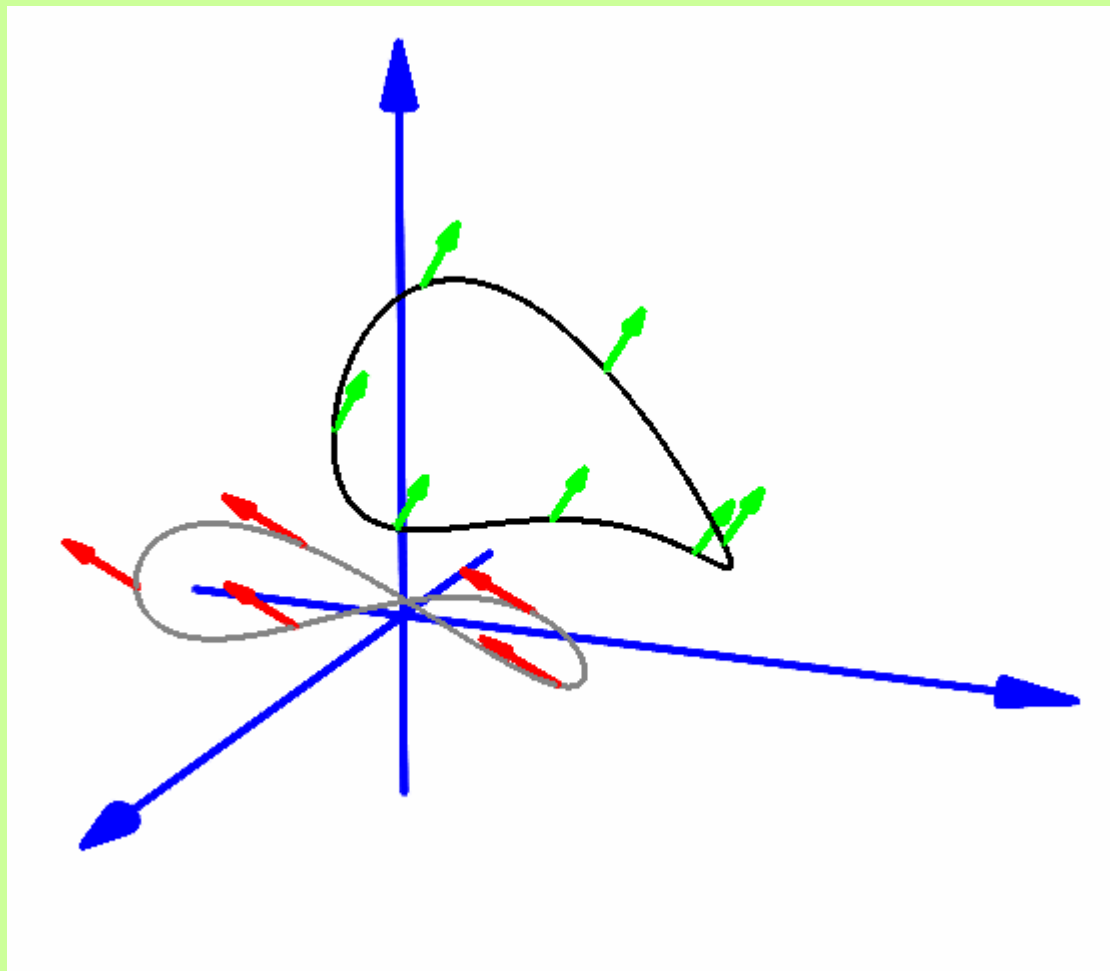
$$H \in \mathbb{Z}$$



Hopf number = linking number of 2 preimage (in \mathbf{R}^3) of 2 points on \mathbf{S}^2

Example №1

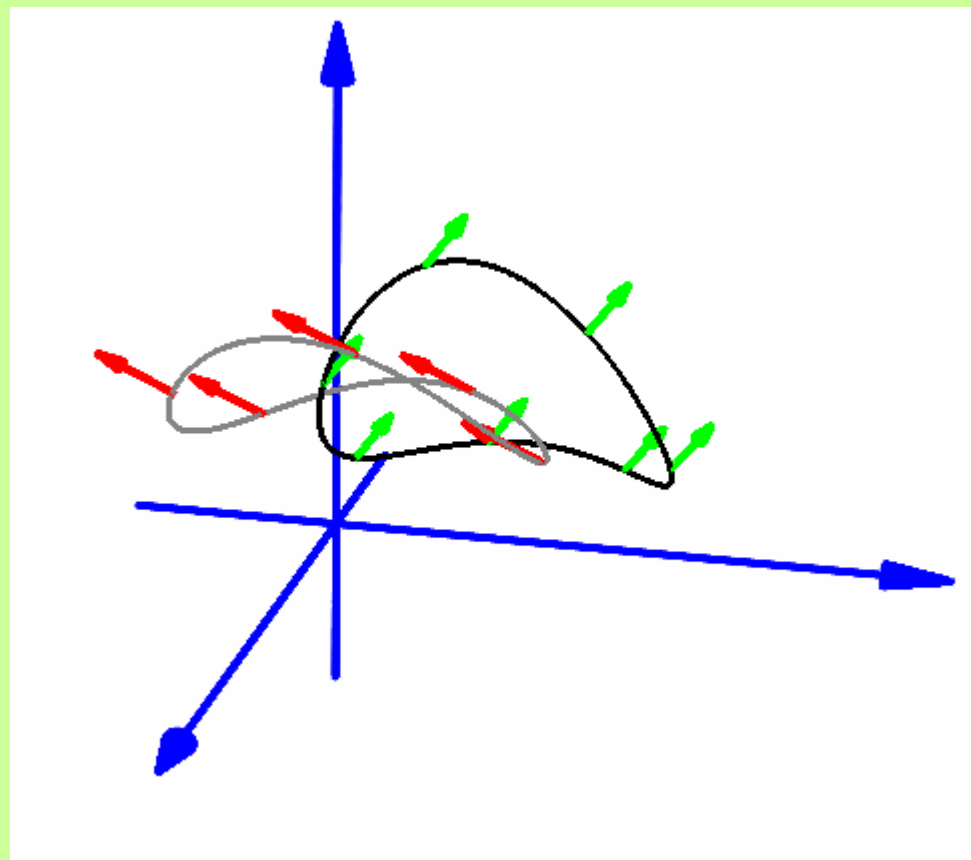
$$H=0$$

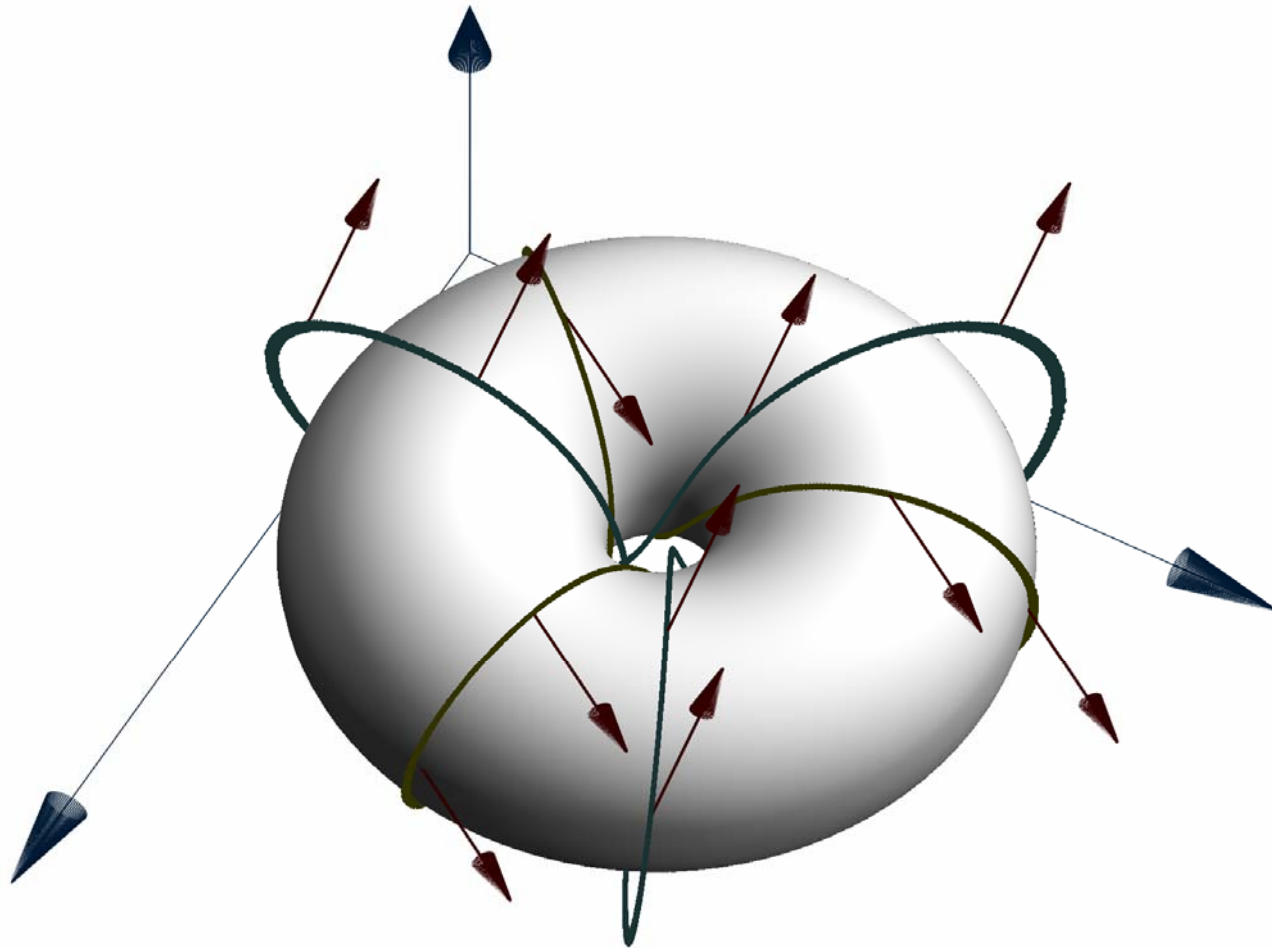


Hopf number = linking number of 2 preimage (in \mathbf{R}^3) of 2 points on \mathbf{S}^2

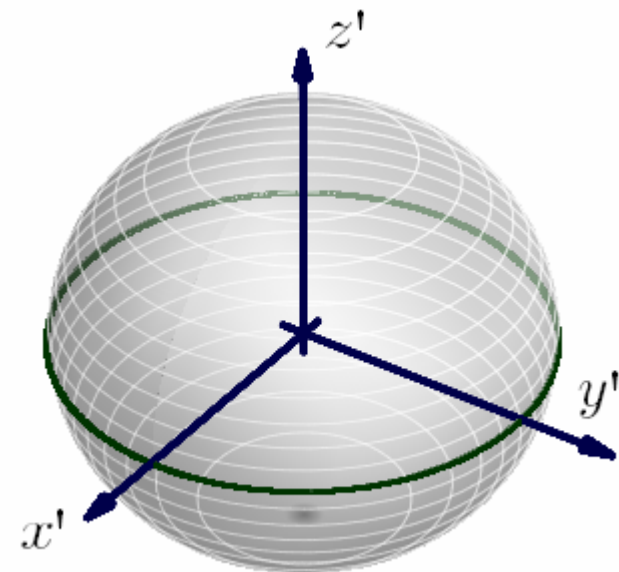
Example №2

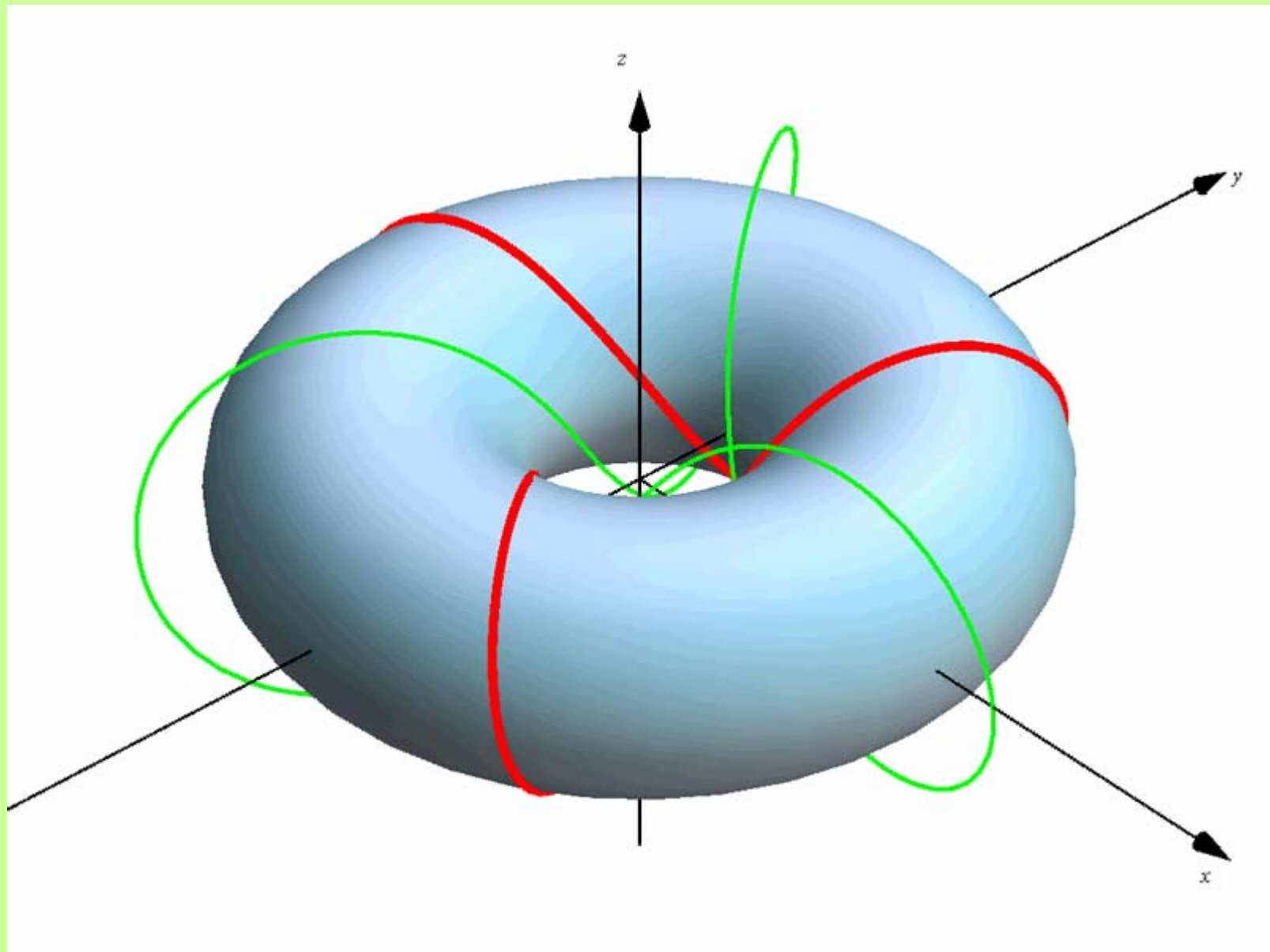
H=1





Torus in \mathbf{R}^3 is the preimage of equator line on S^2 : Видео





Теорема Деррика

Пусть есть решение конечной энергией

$$\tilde{H}\{\vec{n}(r)\} = e_0 + e_1 + e_2 + e_4, \quad e_0 = e_0(\vec{n}(r)), e_1 = G_{i\alpha}(\vec{n}(r))n_{i,\alpha},$$

$$e_2 = \frac{1}{2}n_{i,\alpha}n_{i,\alpha}, \quad e_4 = \frac{1}{4}n_{i,\alpha}n_{j,\beta}n_{k,\gamma}n_{p,\lambda}M^{ijkl}_{\alpha\beta\gamma\lambda}$$

- Рассмотрим специальную вариацию

$$\vec{n}(r) \rightarrow \vec{n}(\lambda r), \quad E \rightarrow E_\lambda = \int \bar{H}\{\vec{n}(\lambda r)\}d^3x,$$

$$E_\lambda = \lambda^{-3}E_0 + \lambda^{-2}E_1 + \lambda^{-1}E_2 + \lambda E_4,$$

$$\frac{dE_\lambda}{d\lambda}(\lambda = 1) = 0, \quad \frac{d^2E_\lambda}{d^2\lambda}(\lambda = 1) > 0$$

$$-3 E_0 - 2 E_1 - E_2 + E_4 = 0$$

$$12 E_0 + 6 E_1 + E_2 > 0$$

$$1 \cdot E_1 = E_4 = 0$$

$$2 \cdot E_1 = E_0 = 0$$

$$3 \cdot E_4 = 0$$

1. Нет локализованных структур

2. Существуют

3. Могут существовать



Точные решения

$$\bar{H} = (\nabla \vec{n})^{\frac{3}{2}}, \bar{H} = (\nabla \vec{n})^{\frac{3}{4}}, F_i = 2\varepsilon_{ijk} \vec{n} \cdot (\vec{n}_{,j} \times \vec{n}_{,k})$$

Модель Фаддеева-Ниёми(численное моделирование)

$$\bar{H} = \frac{1}{2} (\nabla \vec{n}) (\nabla \vec{n}) + g \vec{F} \cdot \vec{F}$$

FERROMAGNETIC



Landay-Lifshitz equation

$$\frac{\partial \mathbf{M}}{\partial t} = -\gamma [\mathbf{M} \times \mathbf{H}_{\text{eff}}], \quad \mathbf{H}_{\text{eff}} = -\frac{\delta E}{\delta \mathbf{M}}$$

where

Magnetization vector

$$\mathbf{M} = M_0 \mathbf{n} = M_0 (\sin \Theta \cos \Phi, \sin \Theta \sin \Phi, \cos \Theta)$$

Energy

$$E = \frac{\alpha}{2} \int (\partial_i \mathbf{M})^2 d\mathbf{r} + \frac{\beta}{2} \int (M_x^2 + M_y^2) d\mathbf{r}$$

What do we know about hopfions in ferromagnets ?

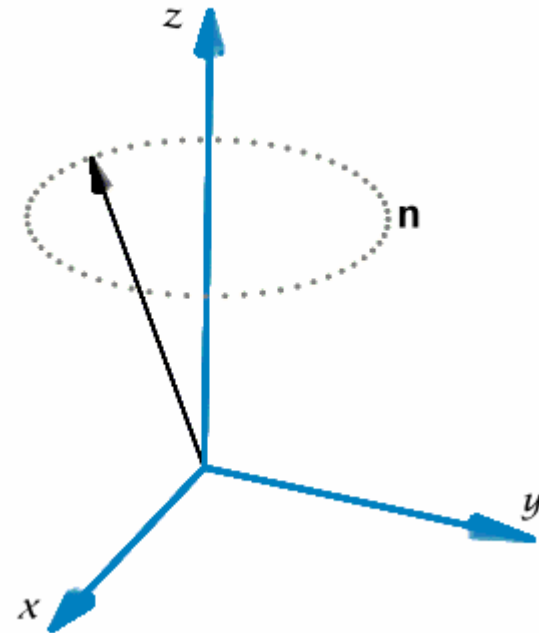
Stationary precession toroidal hopfions

- [I.E. Dzyloshinskii, B.A. Ivanov, JETP Lett. 29, 540 (1979)] – first announcement.
- [A.M. Kosevich, B.A. Ivanov, A.S. Kovalev, Nonlinear waves of magnetisation. Dynamical and topological solitons (book in Russian, 1983) and Phys. Rep. 194, 117 (1990)] – simple analysis and conclusion: only one way to get solution - to use numerical methods.
- [A.B. Borisov, F.N. Rybakov, JETP Lett. 88, 264 (2008)] , • [A.B. Borisov, F.N. Rybakov, JETP Lett (2009)] –stationary and dynamical hopfions are found numerically. Fine structure and main features are studied.

Why “precession” ?

Hobart-Derrick theorem forbids the existence stationary 3D solitons with energy

$$E = \frac{\alpha}{2} \int (\partial_i \mathbf{M})^2 d\mathbf{r} + \frac{\beta}{2} \int (M_x^2 + M_y^2) d\mathbf{r}$$



Магнонная капля $\theta = \theta(|r|)$, $\Phi = \omega t$

Структура хопфиона

- Соопер(1999) ,нет структуры *Heisender* $\beta = 0$, v , ω

Численное моделирование

Найдены прецессионные стационарные солитоны с $N=2,3,4$

$$\Phi = \omega t + Q \varphi + \phi(r, z), \theta = \theta(r, z)$$

Эквивалентно минимизации функционала энергии с условием

$$N = \int (1 - \cos \theta) d\vec{r} = Const$$

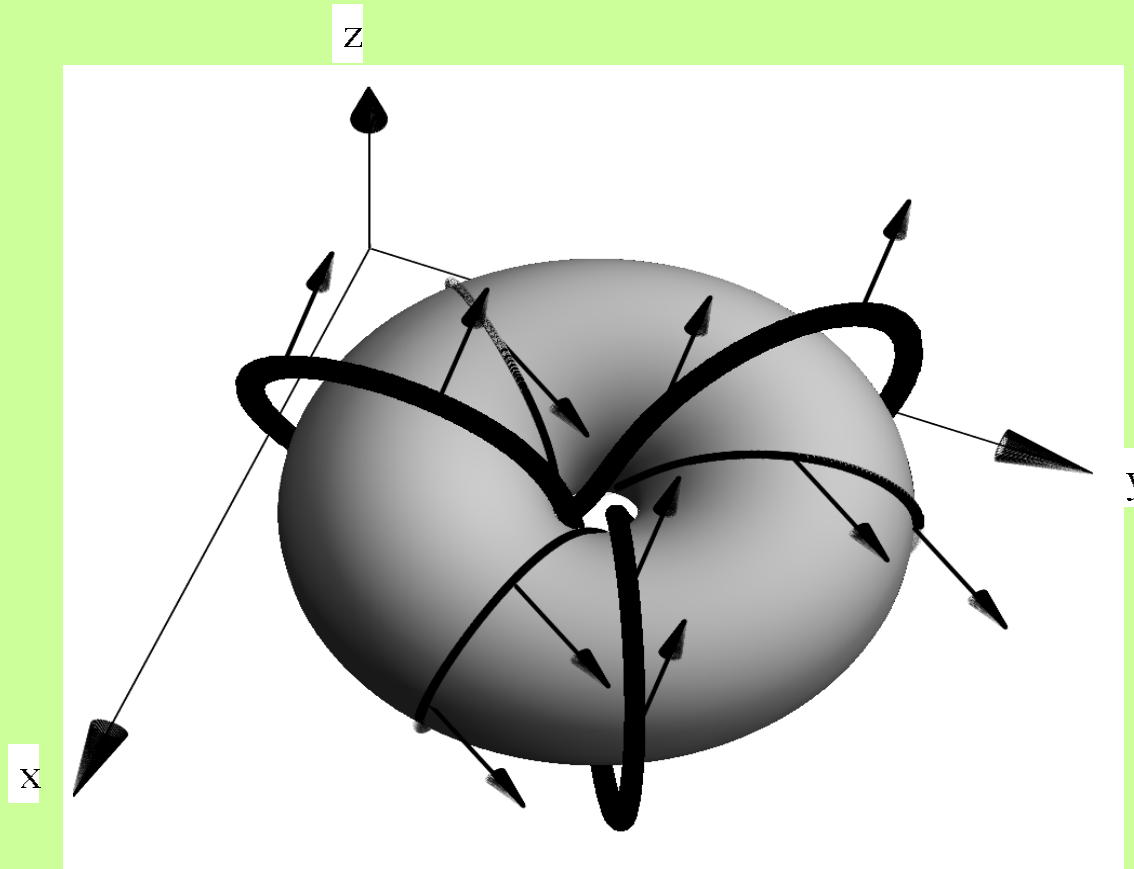
Контроль точности численного результата

- Соответствие топологического заряда целому числу (интегральная формула).
- Вычисление невязки по норме векторов.
 - Асимптотическое приближение энергии к конкретному значению.
- Определение величин ω и V вариационными приемами (интегральные формулы), расчет производных второго порядка на дискретной сетке и вычисление невязки непосредственно уравнения Ландау-Лифшица.

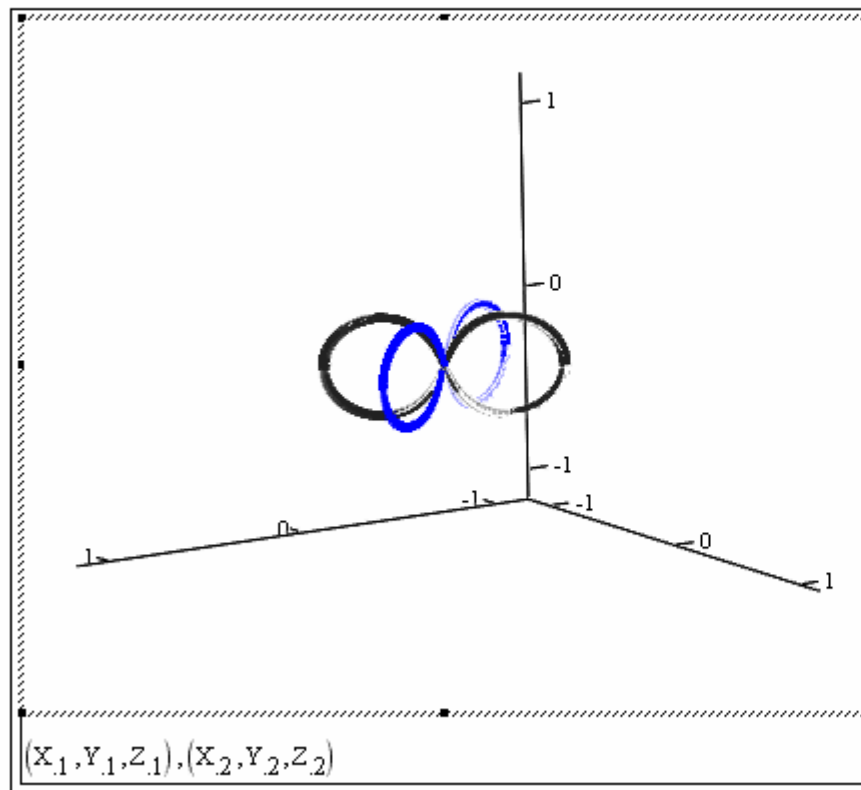
Распределение намагниченности в трехмерном солитоне с $N=3$, прообразы с

$(\theta = 0.5\pi, \Phi = 1)$ – тонкая линия, $(0.2\pi, \Phi = 3)$ – толстая,

$T = 1$. Другие $T.2$ видео.



$$(\theta_1 \ \Phi_1) = (1.7 \ 0.5) \quad (\theta_2 \ \Phi_2) = (1.7 \ 2.5)$$



Энергия: $E = E_{ex} + E_{anizo}$

$$E_{ex} = \frac{a}{2} \int \sum_{i,j} (d_{x_j} \cdot n_i)^2 dx$$

$$E_{anizo} = \frac{g}{2} \int (1 - n_3^2) dx$$

При условии: $\int (1 - n_3) dx = \text{const} = J$

И подстановка типа "Q-вихрь" по ϕ :

$$n_1(r, \phi, z) = n'_1(r, z) \cdot \cos(Q \cdot \phi) - n'_2(r, z) \cdot \sin(Q \cdot \phi)$$

$$n_2(r, \phi, z) = n'_1(r, z) \cdot \sin(Q \cdot \phi) + n'_2(r, z) \cdot \cos(Q \cdot \phi)$$

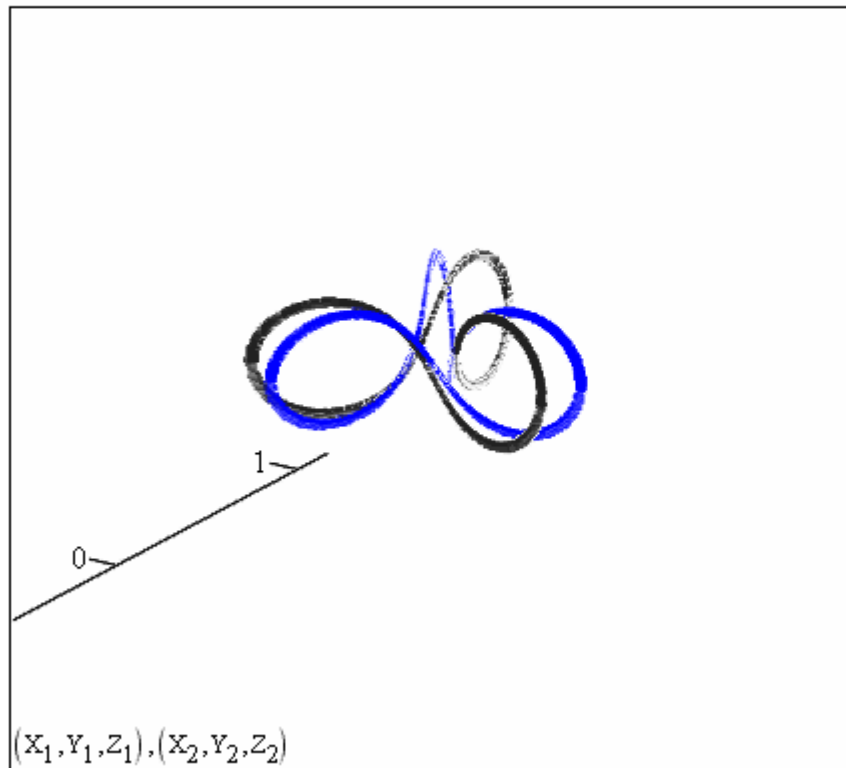
Значения констант:

$$Q = 2 \quad g = 100 \quad a = 1 \quad J = 0.895$$

Результат вычислений:

$$E_{ex} = 78.0 \quad E_{anizo} = 28.7 \quad \omega = 51.5$$

$$(\theta_1 \ \Phi_1) = (1.7 \ 0.5) \quad (\theta_2 \ \Phi_2) = (1.8 \ 1.5)$$



Энергия:

$$E = \frac{a}{2} \int \sum_{i,j} \left(\frac{dn_i}{dx_j} \right)^2 dx + \frac{g}{2} \int (1 - n_3^2) dx$$

При условии:

$$\int (1 - n_3) dx = \text{const} = J$$

И подстановка типа "вихрь" по ϕ :

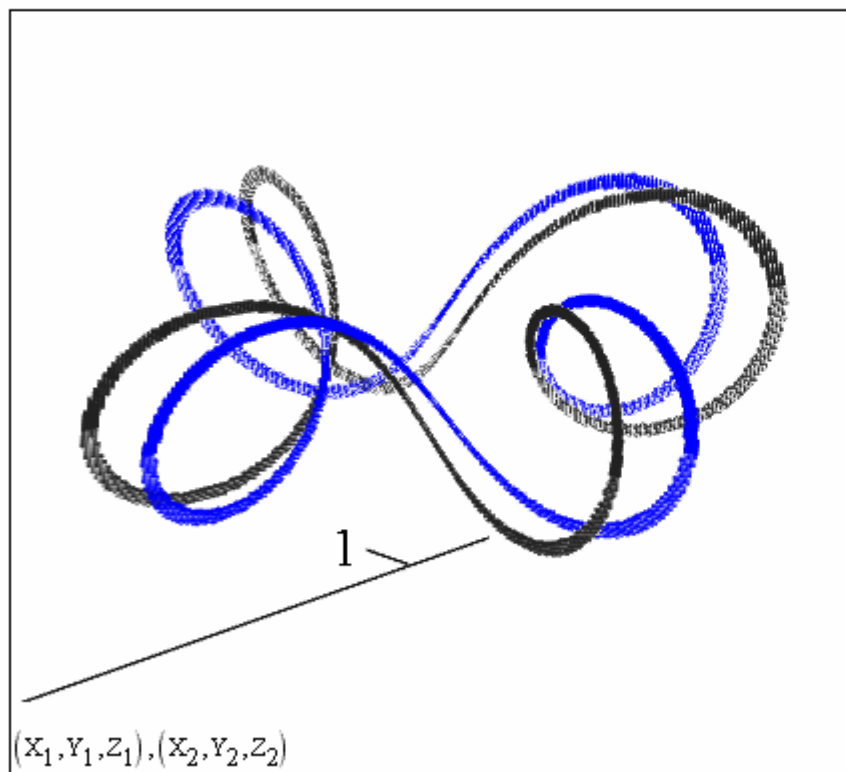
$$n_1(r, \phi, z) = n'_1(r, z) \cdot \cos(Q \cdot \phi) - n'_2(r, z) \cdot \sin(Q \cdot \phi)$$

$$n_2(r, \phi, z) = n'_1(r, z) \cdot \sin(Q \cdot \phi) + n'_2(r, z) \cdot \cos(Q \cdot \phi)$$

Значения констант:

$$Q = 3 \quad g = 100 \quad a = 1 \quad J = 0.895$$

$$(\theta_1 \ \Phi_1) = (1.7 \ 0.5) \quad (\theta_2 \ \Phi_2) = (1.8 \ 1.5)$$



Энергия:

$$E = \frac{a}{2} \int \sum_{i,j} \left(\frac{dn_i}{dx_j} \right)^2 dx + \frac{g}{2} \int (1 - n_3^2) dx$$

При условии:

$$\int (1 - n_3) dx = \text{const} = J$$

И подстановка типа "вихрь" по ϕ :

$$n_1(r, \phi, z) = n'_1(r, z) \cdot \cos(Q \cdot \phi) - n'_2(r, z) \cdot \sin(Q \cdot \phi)$$

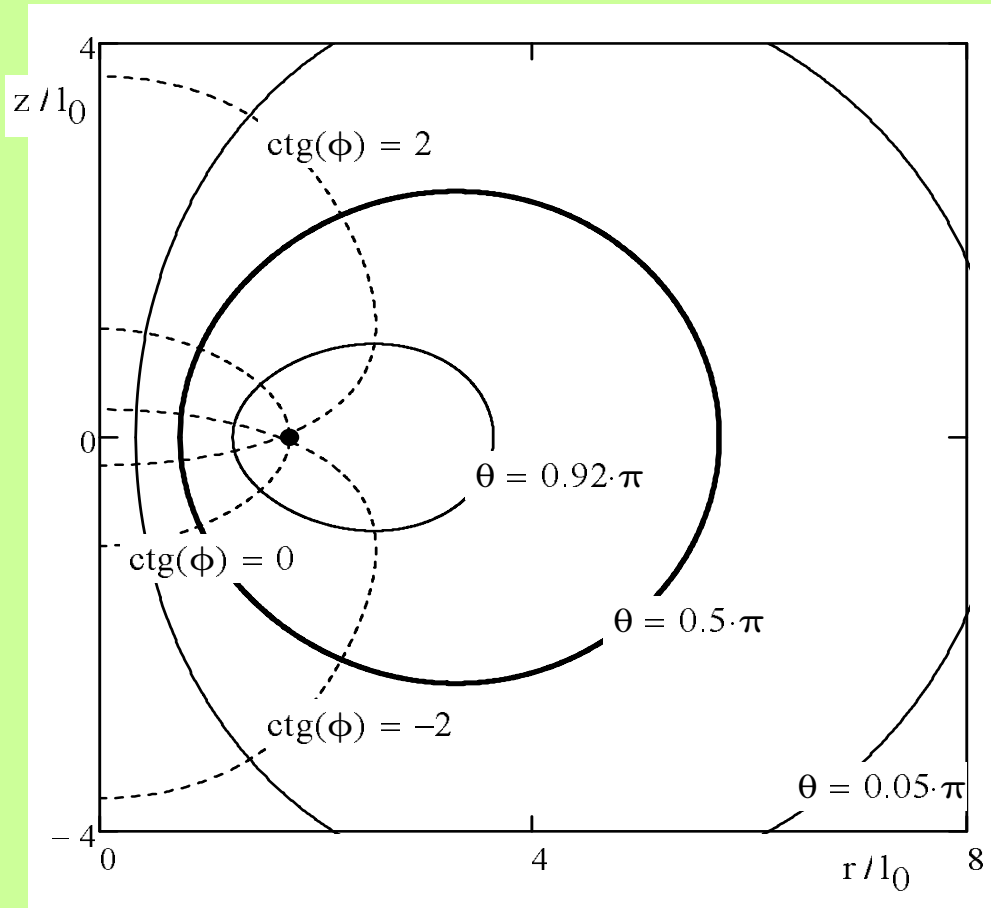
$$n_2(r, \phi, z) = n'_1(r, z) \cdot \sin(Q \cdot \phi) + n'_2(r, z) \cdot \cos(Q \cdot \phi)$$

Значения констант:

$$Q = 4 \quad g = 100 \quad a = 1 \quad J = 0.895$$

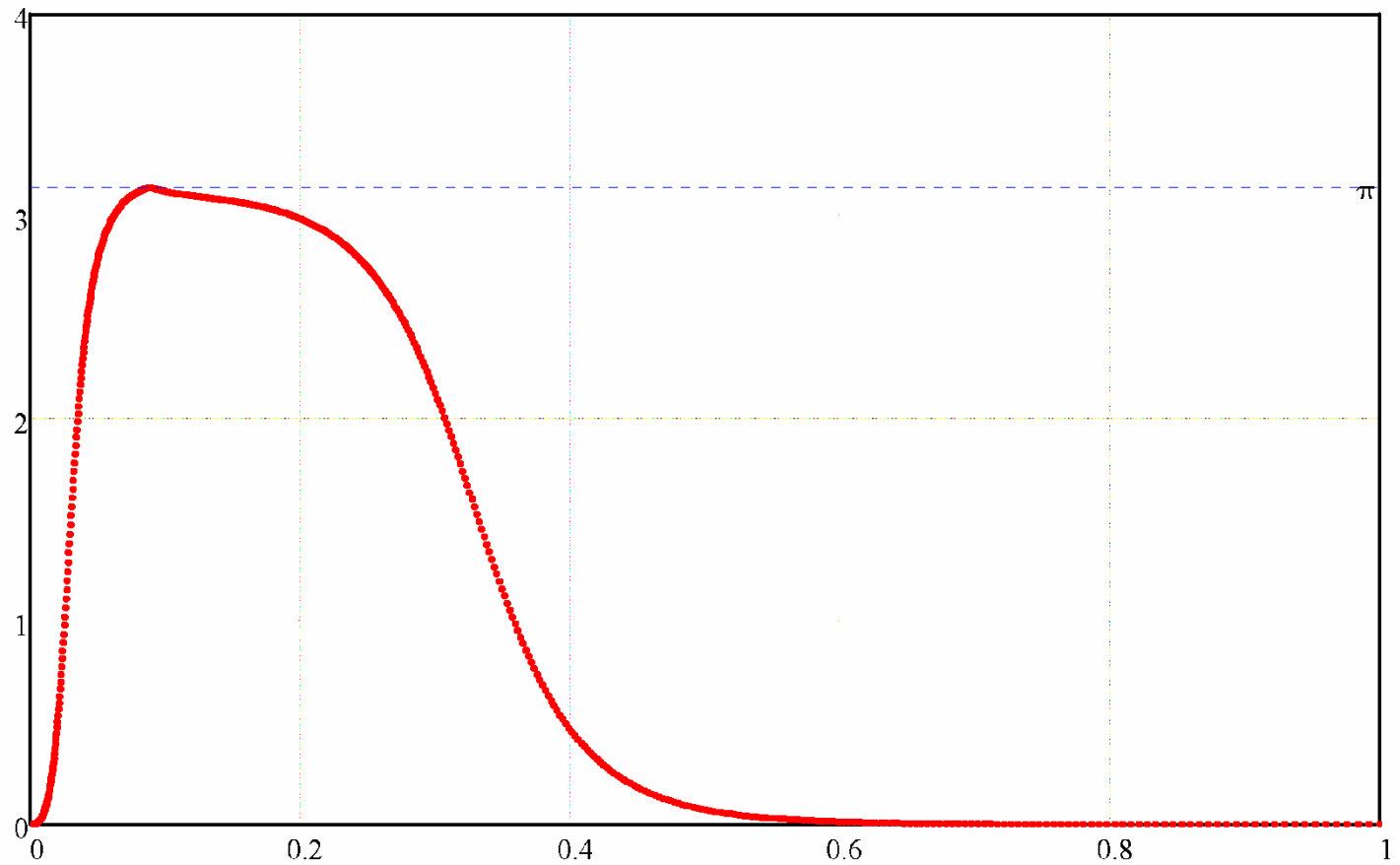
Линия постоянных значений углов

$$\omega = 0.5 \omega_0 (\omega_0 - FMR), H = 3$$



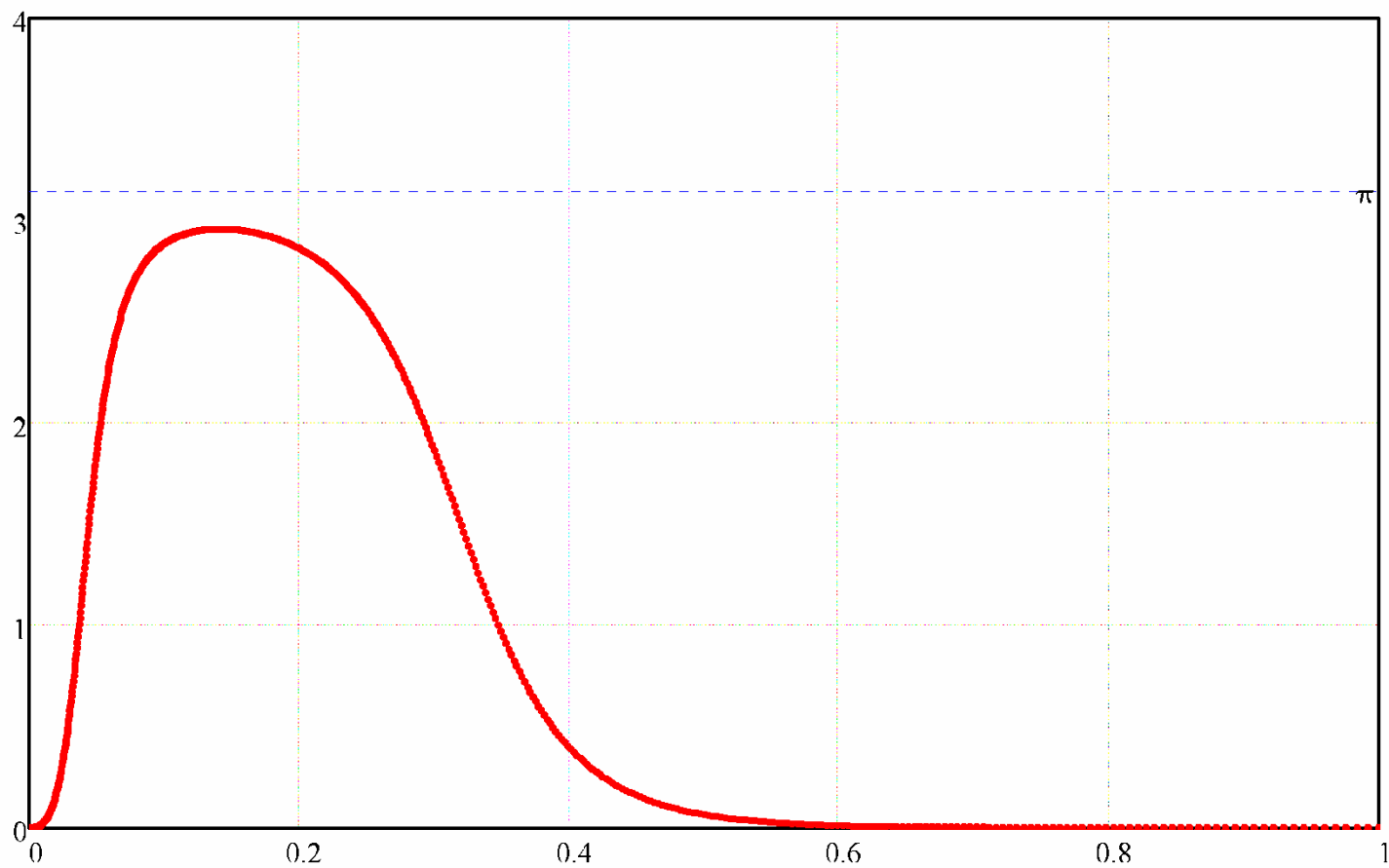
Профиль солитона, при $z=\text{const}$

$\theta(r)$ $z=0, H=3$

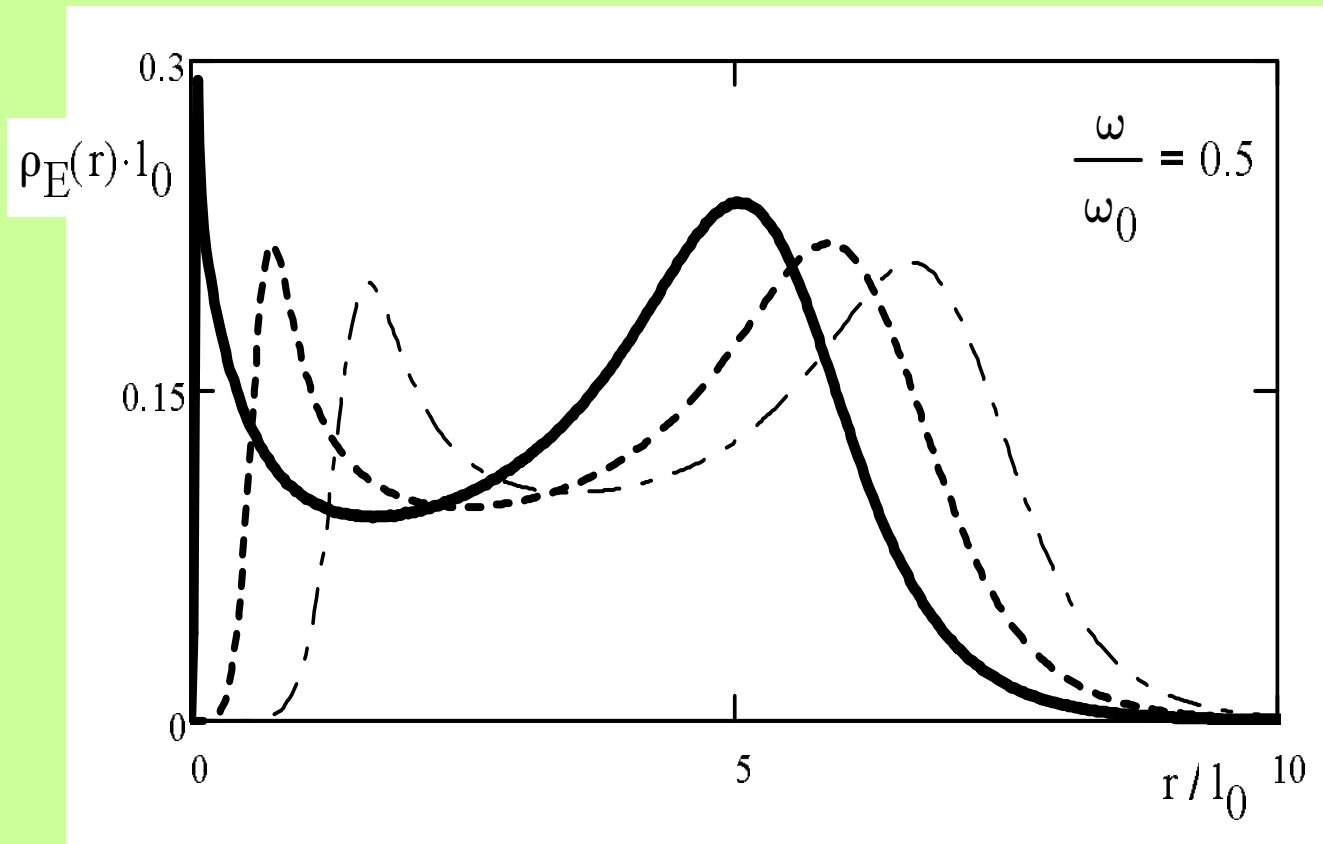


Профиль солитона, при $z=\text{const}$

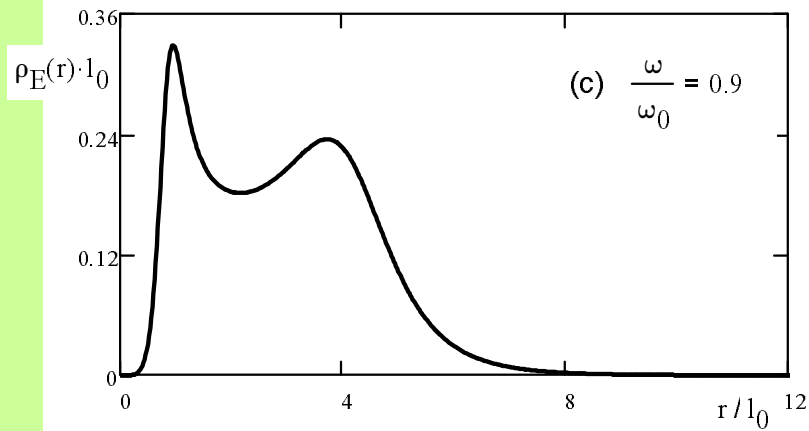
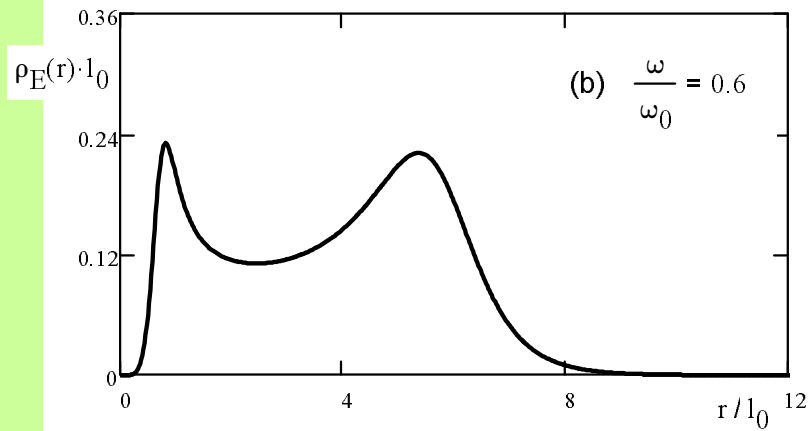
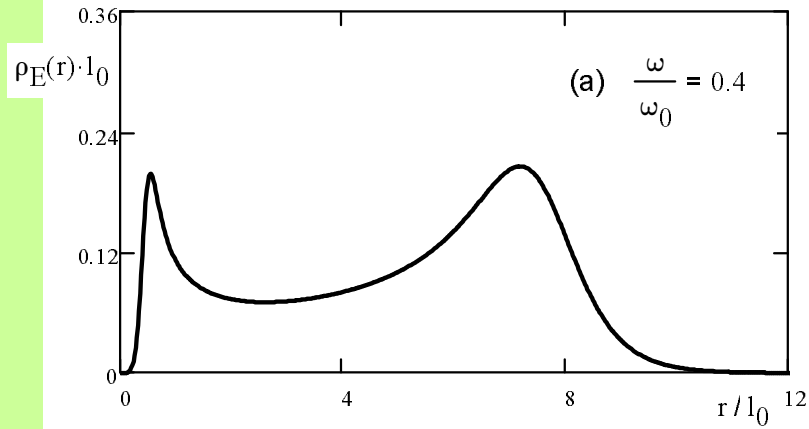
$\theta(r)$ $z>0, H=3$



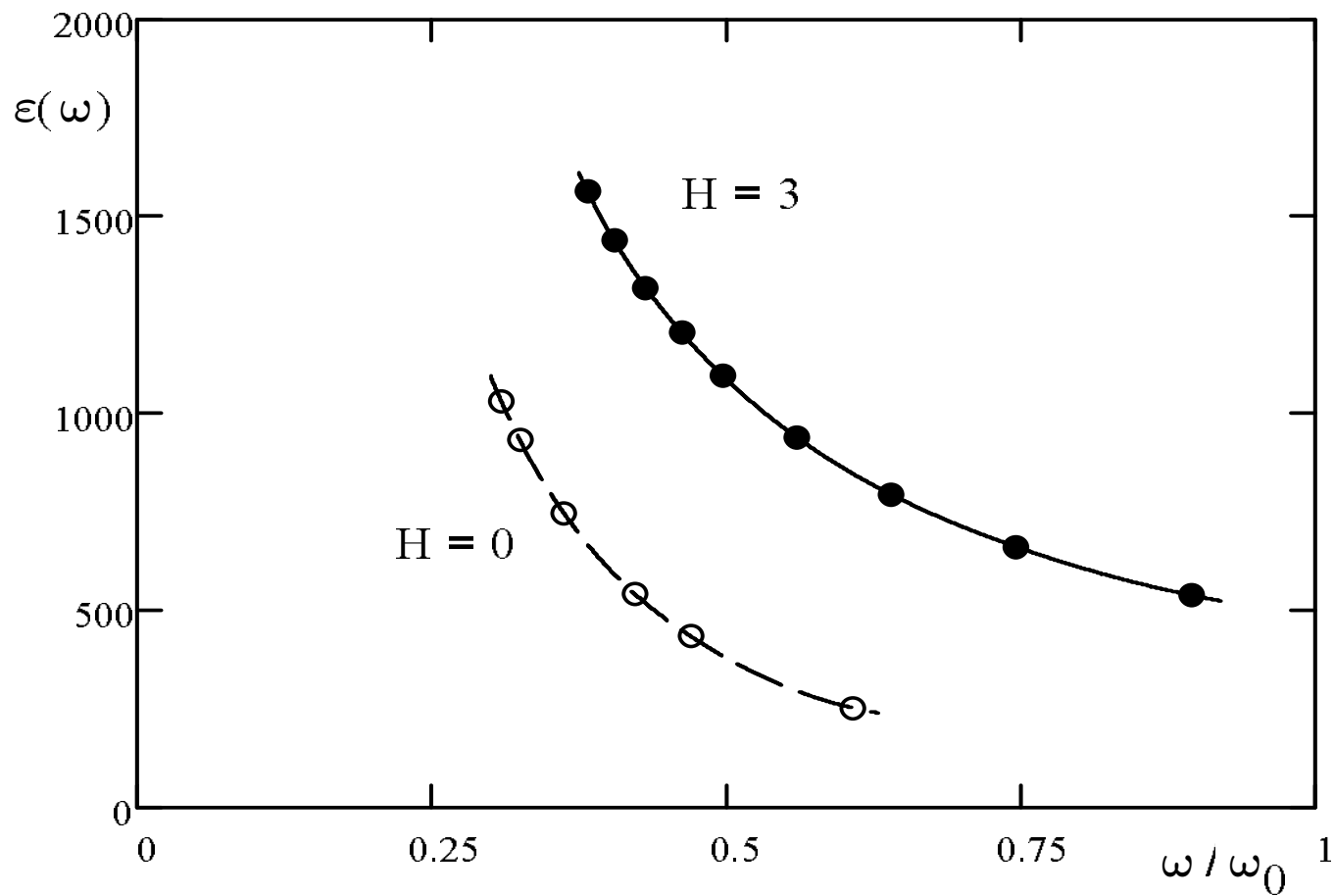
Зависимость нормированной плотности энергии $h[r]$ от расстояния для $N=2,3,4$ 2-Видео



Зависимость $h[r]$ от частоты при $N=3$.

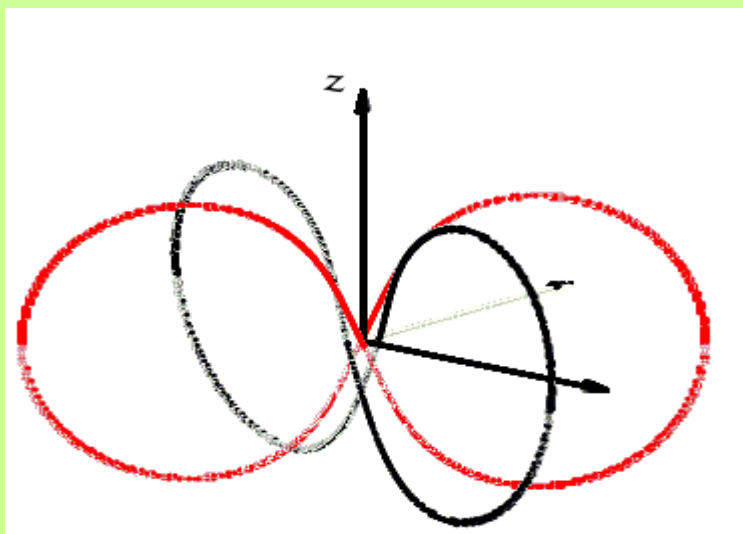


Уменьшение энергии солитона с увеличением частоты.



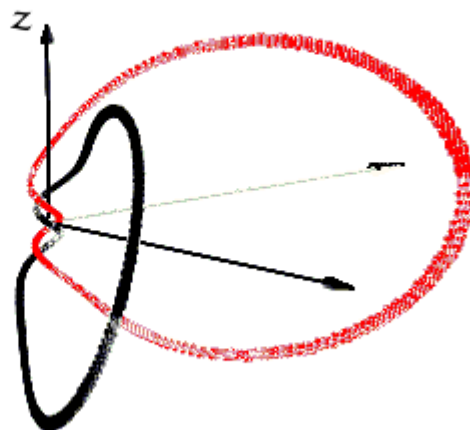
Некоторые топологические особенности солитонов с $N \geq 2$ были рассмотрены при изучении структуры стационарных солитонов.

$Q=2,$
 $T=1$



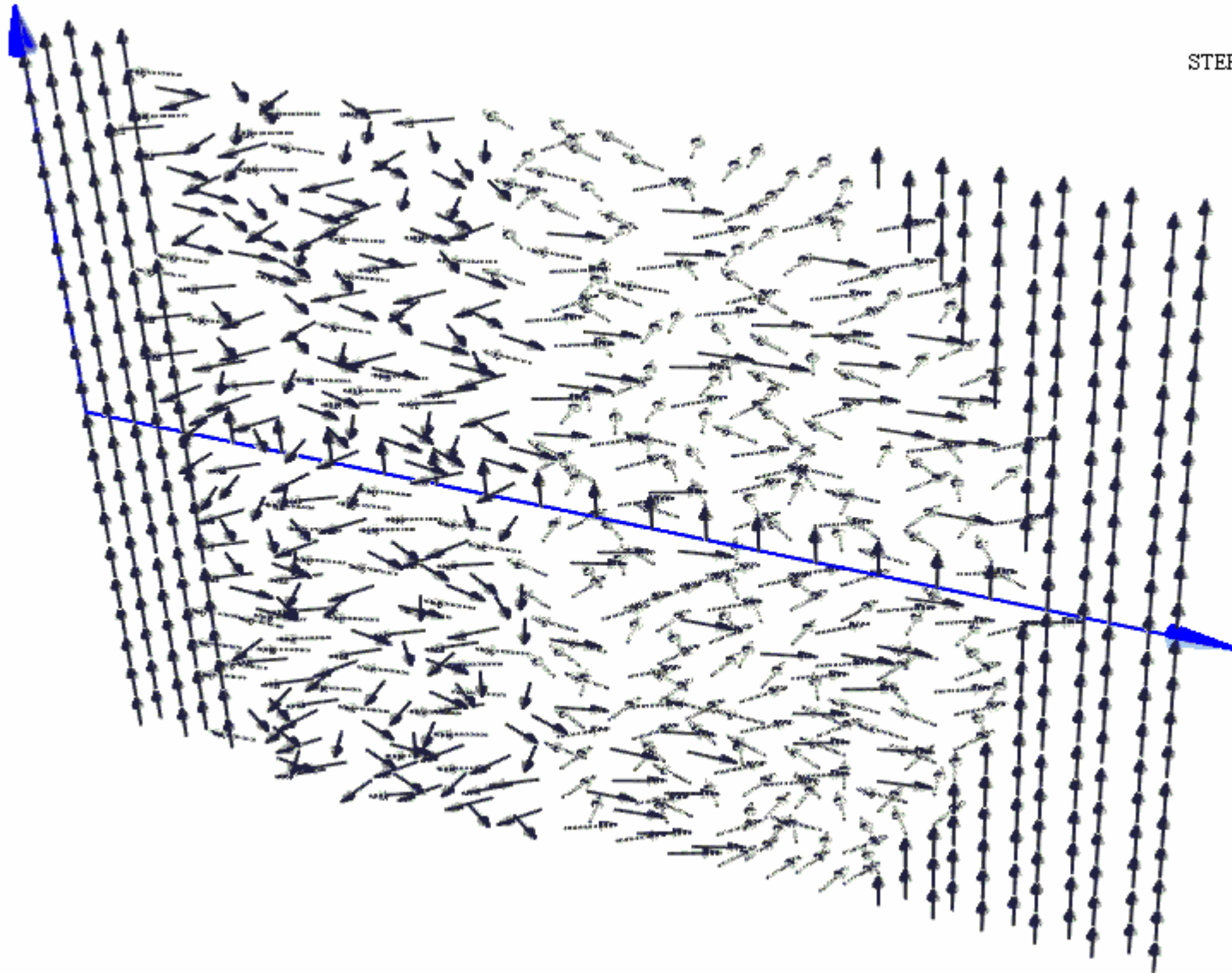
$N=2.$
Прообразы
дважды
зацеплены,
обвивая тор
дважды
снаружи.

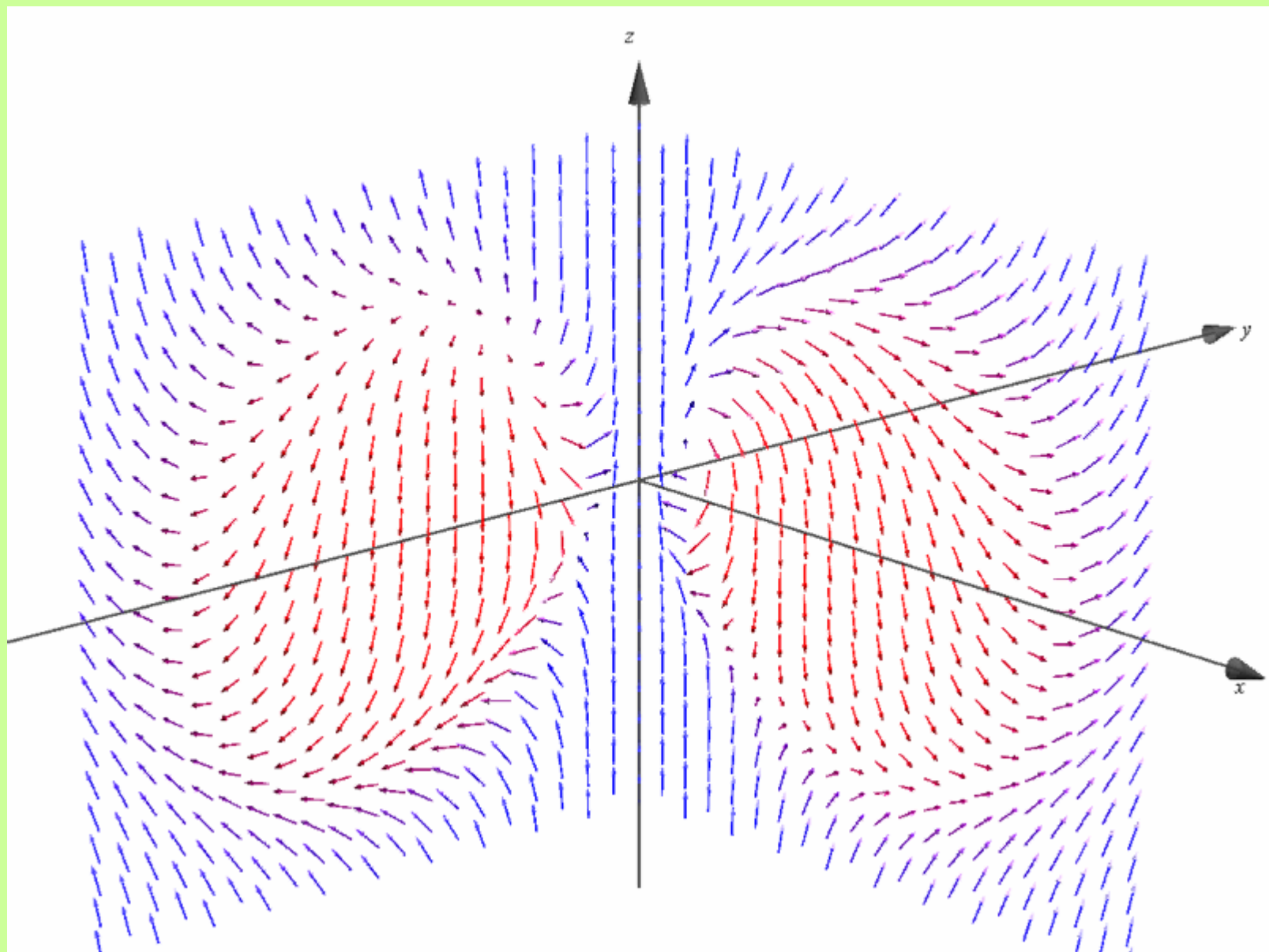
$Q=1,$
 $T=2$



$N=2.$
Прообразы
дважды
зацеплены,
обвивая тор
дважды
изнутри.

STEP = "00000"





Соотношение между численным и аналитическим решением

- Аналитическое решение-вид кривой пробразов (неплоская), ортогональность(2 %), подстановки ???

Moving precession toroidal hopfions

- [N.R. Cooper, Phys. Rev. Lett. 82, 1554 (1999)] – announcement.
- [P. Sutcliffe, Phys. Rev. B. 76, 184439 (2007)] – attempt to solve problem by numerical methods, unsuccessful.

We seek solution, describing precession uniformly moving along anisotropy axis toroidal hopfions of the form:

$$\Phi = \omega t + Q\varphi + \phi(r, z - Vt), \quad \Theta = \theta(r, z - Vt)$$

in cylindrical coordinate system (r, φ, z)

$$Q \in \mathbb{Z} \setminus \{0\}, \quad T = \frac{1}{4\pi} \int_{-\infty}^{\infty} \int_0^{\infty} \sin\theta (\partial_r \theta \partial_z \phi - \partial_z \theta \partial_r \phi) dr dz, \quad T = 1$$

For such solitons Hopf index $H = QT = Q$

Analytical approach. Two dimensional elliptic problem:

$$\frac{1}{\alpha\gamma M_0}(\omega - V\partial_z\phi) - \sin\theta\cos\theta \left(\frac{Q^2}{r^2} + \frac{\beta}{\alpha} + (\partial_r\phi)^2 + (\partial_z\phi)^2 \right) + \frac{1}{r}\partial_r\theta + \frac{\partial^2\theta}{\partial r^2} + \frac{\partial^2\theta}{\partial z^2} = 0$$

$$\frac{1}{\alpha\gamma M_0}V\partial_z\theta + 2\cos\theta(\partial_r\theta\partial_r\phi + \partial_z\theta\partial_z\phi) + \sin\theta \left(\frac{1}{r}\partial_r\phi + \frac{\partial^2\phi}{\partial r^2} + \frac{\partial^2\phi}{\partial z^2} \right) = 0$$

Numerical approach. Energy minimization:

$$E = \alpha M_0^2 \int_{-\infty}^{\infty} \int_0^{\infty} \left[(\partial_r \mathbf{n})^2 + (\partial_z \mathbf{n})^2 + \left(\frac{Q^2}{r^2} + \frac{\beta}{\alpha} \right) (n_x^2 + n_y^2) \right] \pi r dr dz \rightarrow \min$$

with constraints:

$$n_x^2 + n_y^2 + n_z^2 = 1$$

$$N = \frac{M_0}{\gamma\hbar} \int_{-\infty}^{\infty} \int_0^{\infty} (1 - n_z) 2\pi r dr dz = \text{const}_1$$

$$P = -\frac{M_0}{\gamma} \int_{-\infty}^{\infty} \int_0^{\infty} \mathbf{n} \cdot [\partial_r \mathbf{n} \times \partial_z \mathbf{n}] \pi r^2 dr dz = \text{const}_2$$

Основные результаты

- В одноосном ферромагнетике могут существовать как стационарные, так и движущиеся с постоянной скоростью тороидальные топологические прецессионные солитоны.
- Структура движущегося солитона имеет принципиальные отличия:
 - 1) Переориентация векторов намагниченности по азимутальному углу цилиндрической системы координат
 - 2) Увеличение скорости приводит к тому, что тороидальный солитон переходит от формы “шара с отверстием вдоль оси” в сторону тонкого кольца.

We used specially made algorithm based on conjugate gradient minimization method.

Each of the calculation process takes about 4 hours of CPUs time on a standard server computer equipped with 2 Quad-core Intel Xeon/2.33GHz processors; parallel algorithm with 8 threads, 600x400 grid.

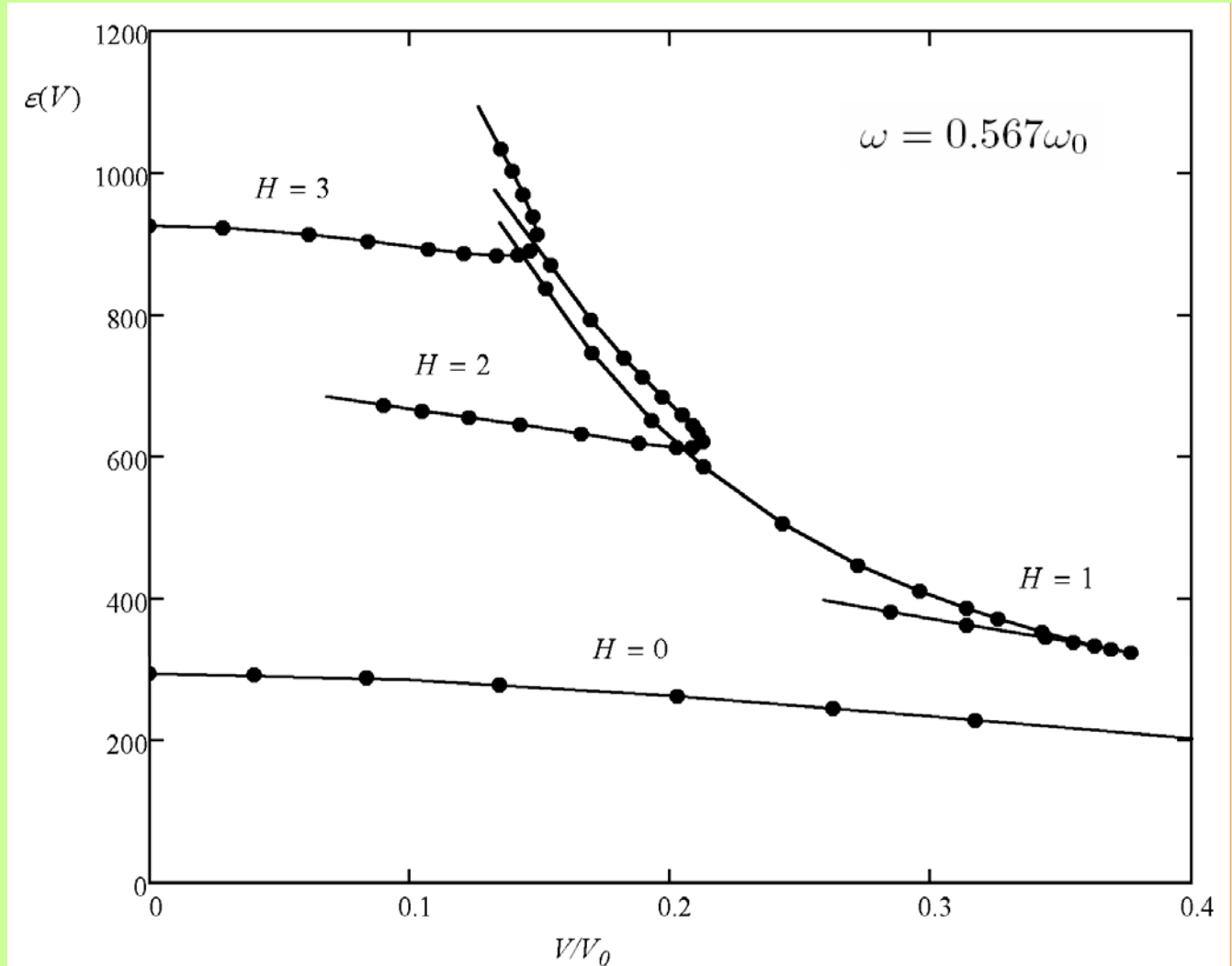
Energy versus the speed for solitons with same precession frequency.

$$\omega_0 = \gamma M_0 \beta$$

$$\varepsilon = E / (\alpha M_0^2 l_0)$$

$$V_0 = \gamma M_0 \sqrt{\alpha \beta}$$

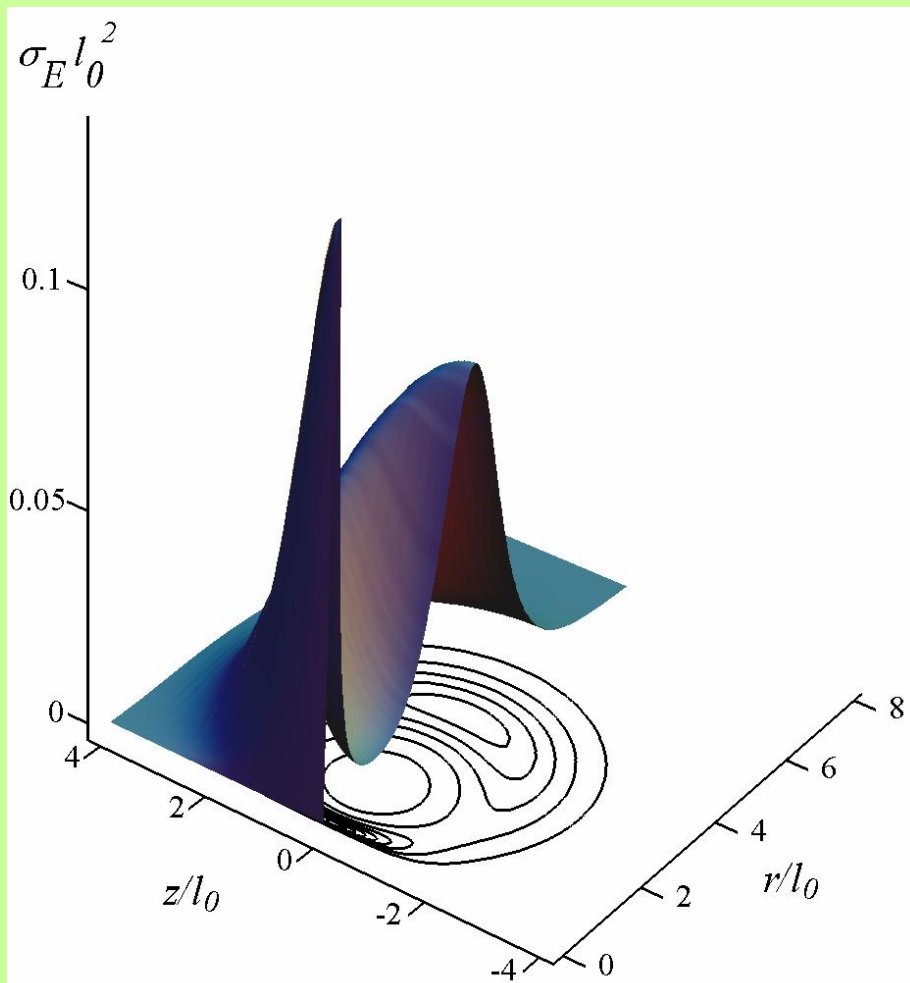
$$l_0 = \sqrt{\alpha / \beta}$$



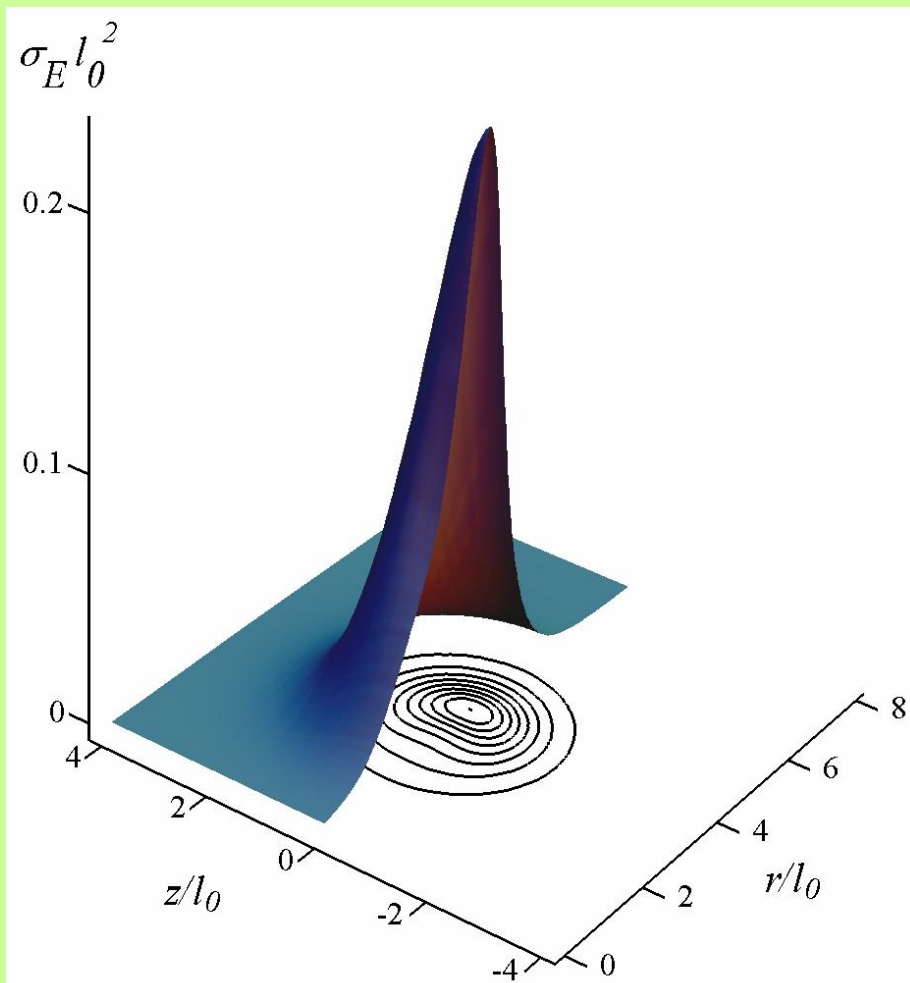
Energy distribution in hopfions for two energy branches

σ_E - normalized energy density in (r,z) plane

Lower energy branch



Higher energy branch



Взаимодействие DM(спираль).

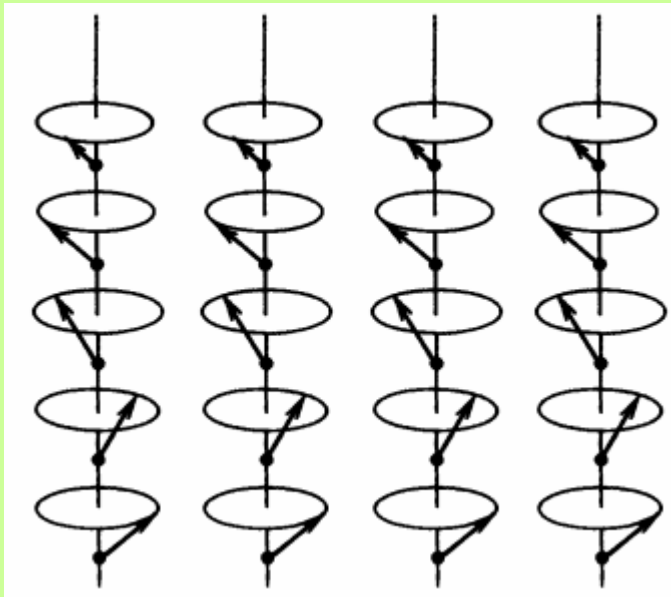
Model with additional Dzyaloshinsky-Moriya interaction energy and Zeeman energy.

$$E = \frac{\alpha}{2} \int (\partial_i \mathbf{M})^2 d\mathbf{r} + \frac{\beta}{2} \int (M_x^2 + M_y^2) d\mathbf{r} + \\ + D \int \mathbf{M} \cdot (\nabla \times \mathbf{M}) d\mathbf{r} + H_0 \int (M_0 - M_z) d\mathbf{r}$$

(Cubic ferromagnet without an inversion center and with induced uniaxial anisotropy in external magnetic field H_0)

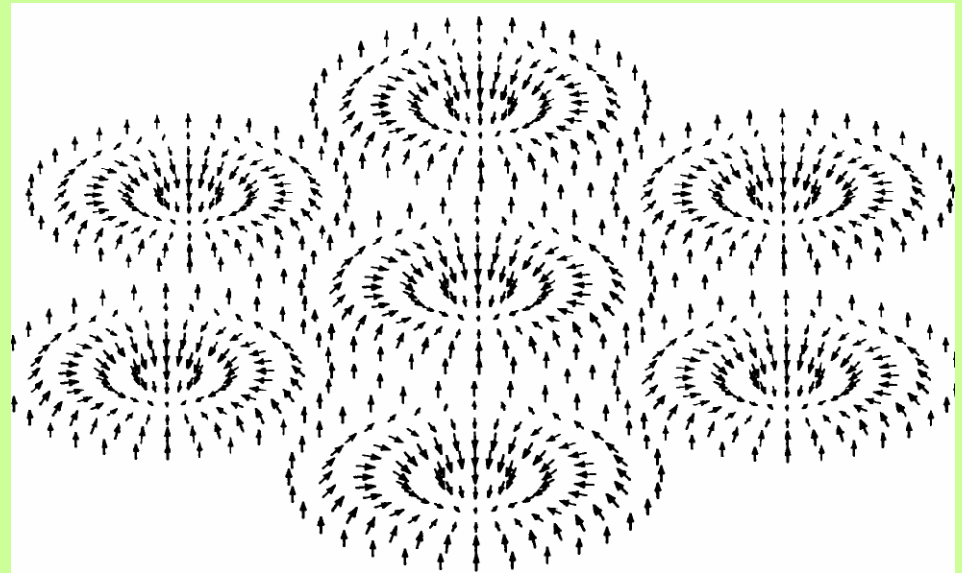
This is a incommensurate magnet – magnet where long-periodic structure can exist.

FS-spiral (3D)



Yu. A. Izyumov, Sov. Phys. Usp. 27, 845 (1984)

2D skyrmion lattice



A.Bogdanov, A.Hubert, JMMM 138, 255 (1994)

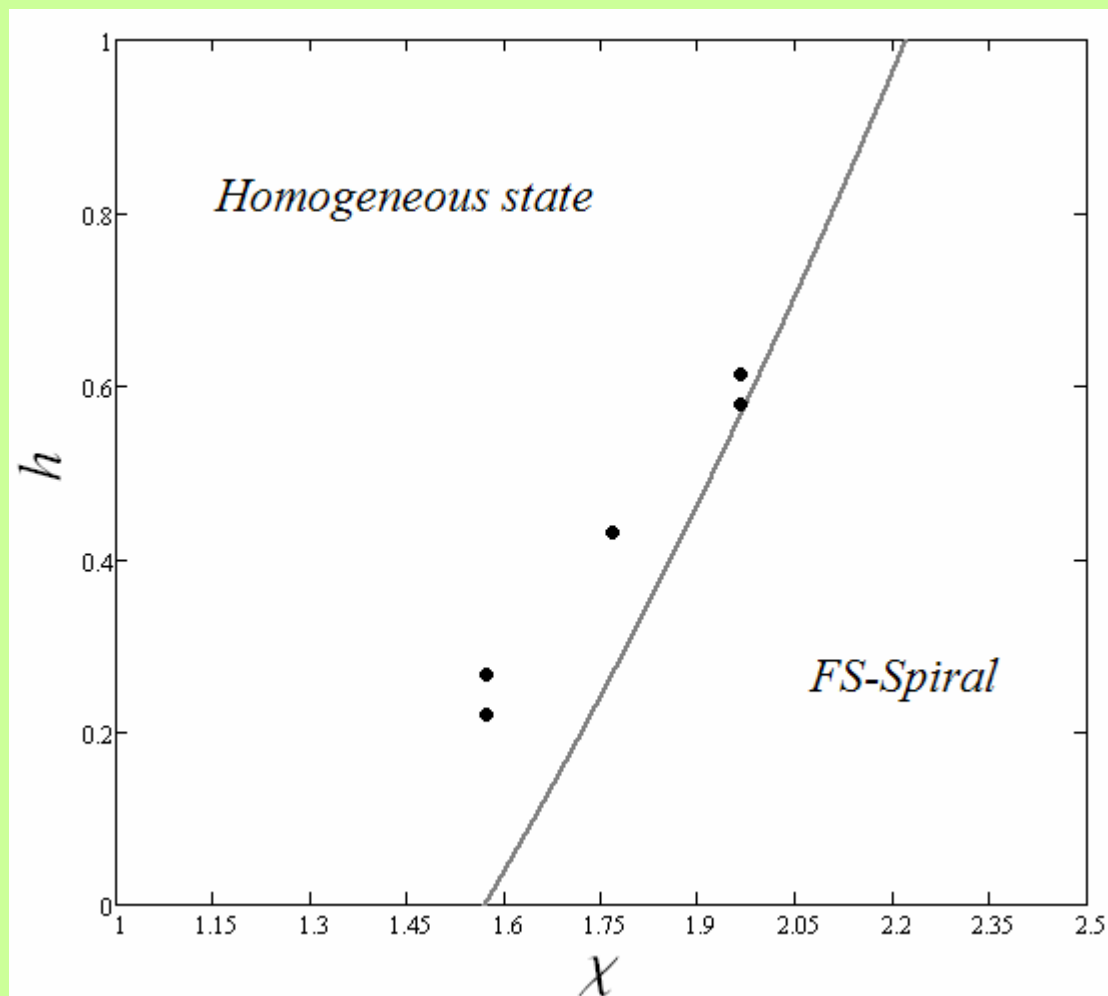
- [A.Bogdanov, JETP Lett. 62, 247 (1995)] – first announcement concerning 3D solitons.

Simplified state diagram

The points show numerical results where hopfion $|H|=1$ was found.

We have found solution, using specially made algorithm based on conjugate gradient minimization method.

$$\chi = \frac{\pi D}{2\sqrt{\alpha\beta}}, \quad h = \frac{H_0}{\beta M_0}$$



При условии

$$|1 + h - (4\chi^2 / \pi^2)| < 0$$

В системе реализуется FM(БС).

$$\cos \Theta = \frac{h}{(4\chi^2 / \pi^2) - 1}, \quad \Phi = kz,$$

$$k = 2\chi / (\pi l_0) = D / \alpha.$$

- Найдено и проверено асимптотическое поведение

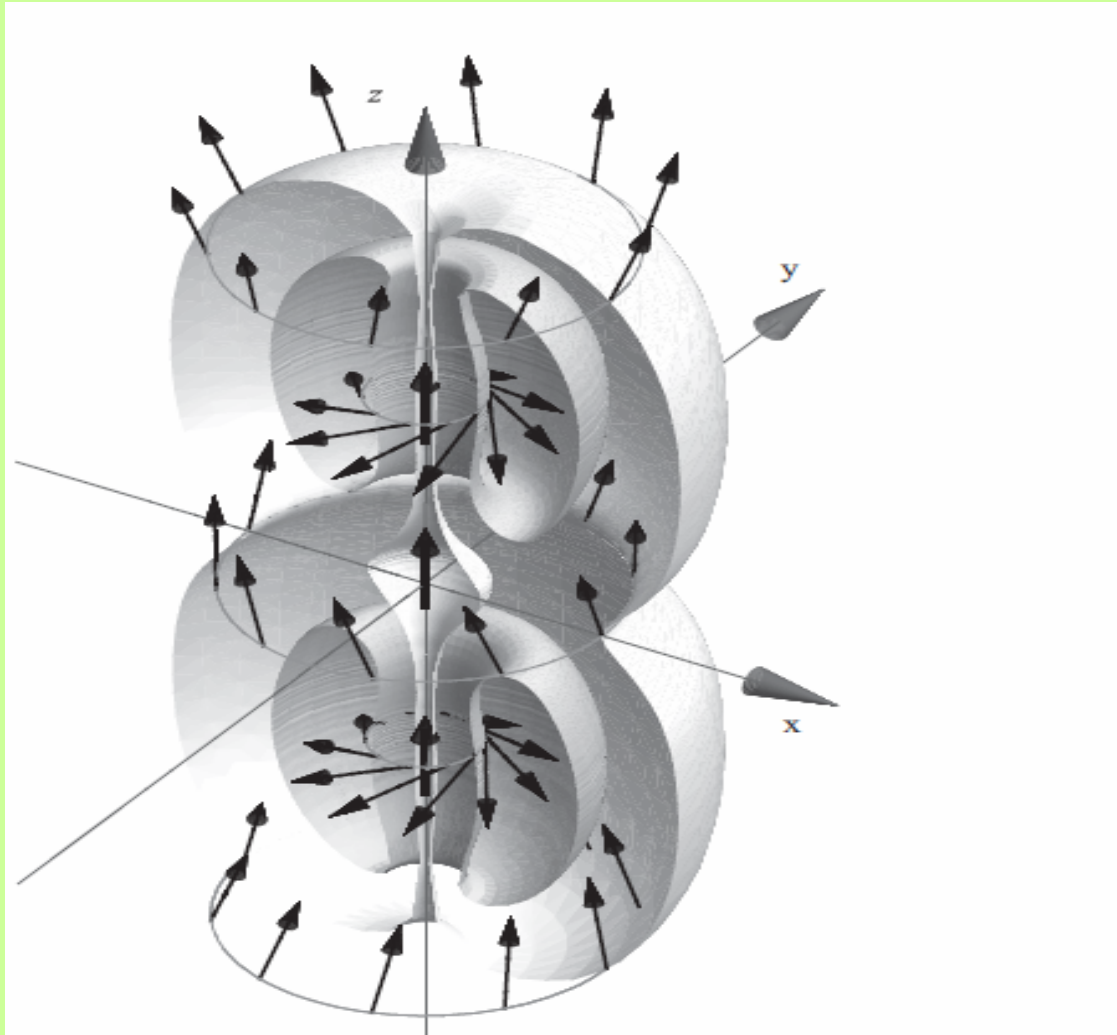
$$\theta(r, z) \sim \frac{(1 + \gamma\sqrt{r^2 + z^2})r}{e^{\gamma\sqrt{r^2 + z^2}}(r^2 + z^2)^{3/2}} \quad (|\mathbf{r}| \rightarrow \infty).$$

$$\gamma = \sqrt{1 + h - (4\chi^2 / \pi^2)} / l_0$$

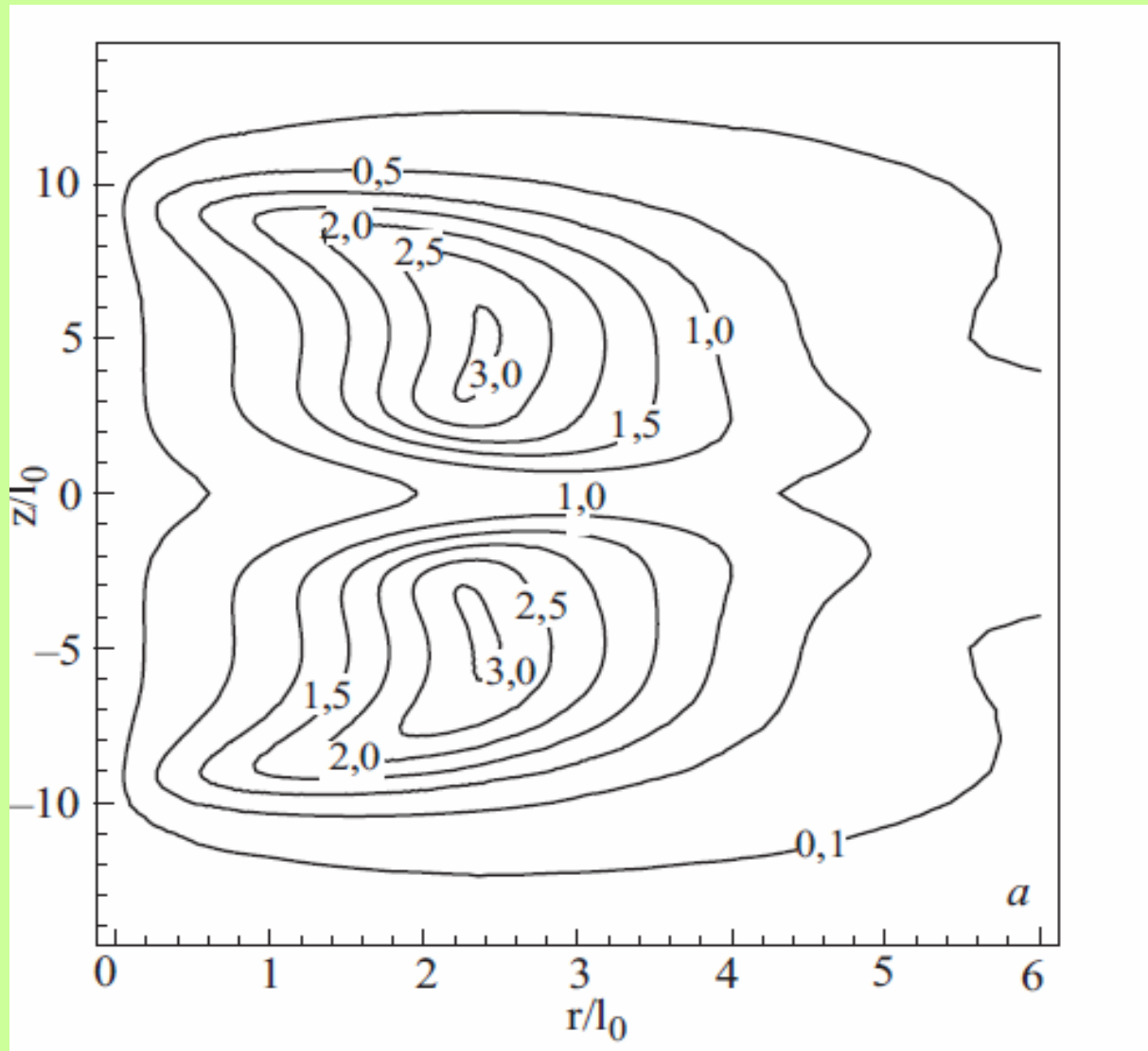
Main results:

- Solutions corresponding to stationary solitons with $H=0, \pm 1$ are numerically found in model with Dzyaloshinsky-Moriya interaction.
- In case $H=0$ soliton consists of a complex of hopfion-antihopfion pairs.
- Typical size $L \approx 30l_0$

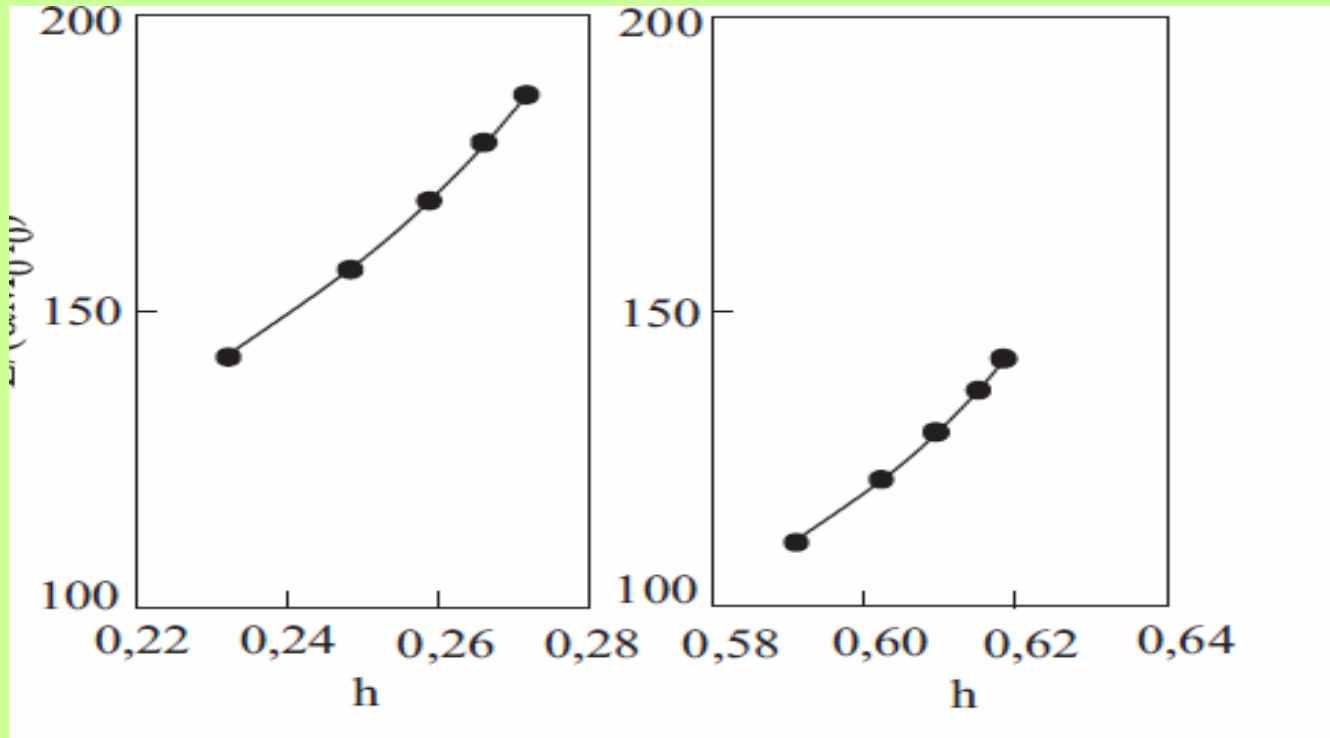
$H = 0, h = 0.11, \chi = 1.37, \theta = 0.3$ (внешний)
 $\theta = 2$ (внутренний)

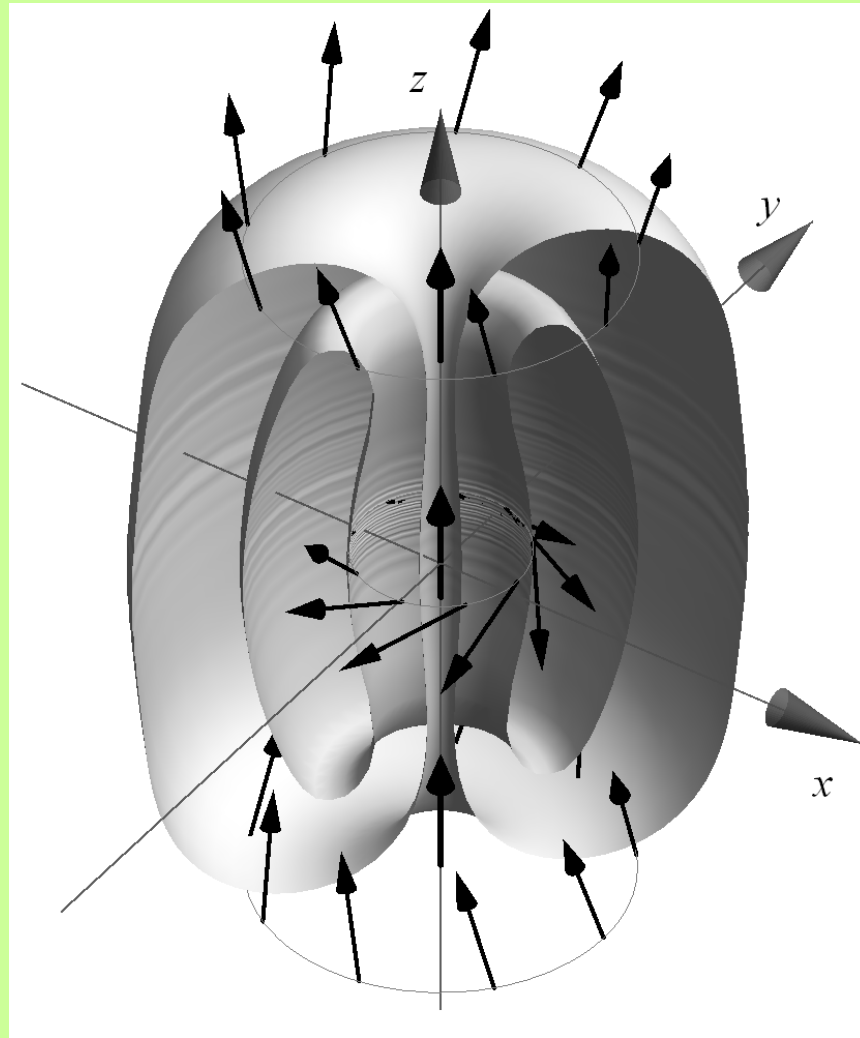


$$H=0, \chi=1.96, h=0.6$$



$$E(h), \chi = 1.571 \text{ u } 1.963$$





Distribution of magnetization in computed toroidal hopfion with $H=-1$

Why this theoretical works are important ?

Feature for information recording and storage in essentially new type devices, where information bits are distributed not on planar structures, but in full 3D volume.

3D hopfion lattice = New magnetic phase

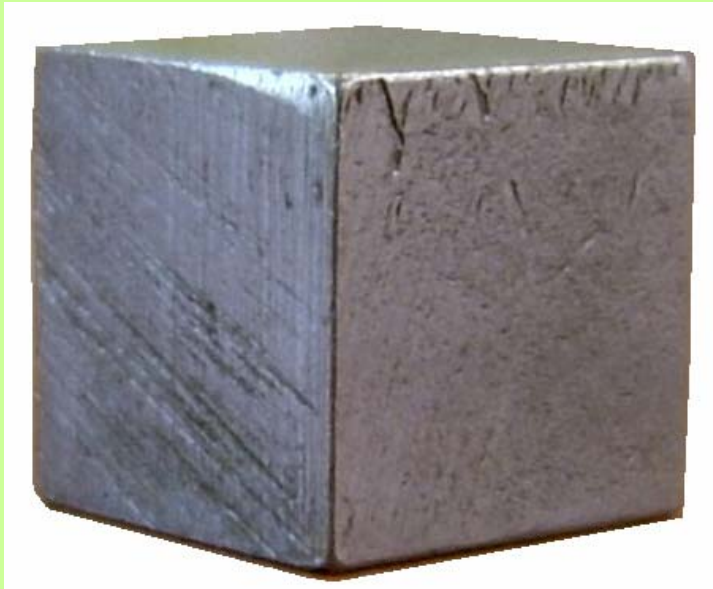
Hopfions can propagate along anisotropy axis – this feature can be used to realize information reading and writing process.

Localization area for hopfion $\approx 20 l_0$ in each dimension. For cobalt (^{27}Co), for example, $l_0=5\text{nm}$. Metal cube: **10cm x 10cm x 10cm** can contain $9.9 \cdot 10^{17}$ hopfions.

If 1 hopfion equal to 1 bit of information, we have more than 10^5 Terabytes. In addition, each hopfion can get own topological charge H from list with N different values. And we can get

$$(N-1) \cdot 10^5 \text{ Terabytes}$$

or use this feature for redundant coding.



VS



- Спасибо за
внимание и
терпение.